Révision Cinématique/Statique

☐ Les supports des exercices sont extraits de concours

Coulisseau 1

Ensemble 3

Support 2.

# Analyse sanguine automatisée

Le repère  $R_0(0,\vec{x}_0,\vec{y}_0,\vec{z}_0)$  lié au bâti fixe 0.

Le repère  $R_2(G_2, \vec{x}_2, \vec{y}_2, \vec{z}_2)$  est lié au support 2 avec  $\theta = (\vec{y}_0, \vec{y}_2) = (\vec{x}_0, \vec{x}_2)$ .

 $G_i$ : Centre de gravité du solide i

$$\overrightarrow{OG_1} = x. \vec{x}_0$$

$$\overrightarrow{OG_2} = x. \vec{x}_0 + d_1. \vec{z}_0$$

$$\overrightarrow{OG_3} = x. \vec{x}_0 + (d_1 + z). \vec{z}_0 + (d_2 + d). \vec{x}_2$$

Figure 1 : Constitution du bras motorisé de manipulation des tubes

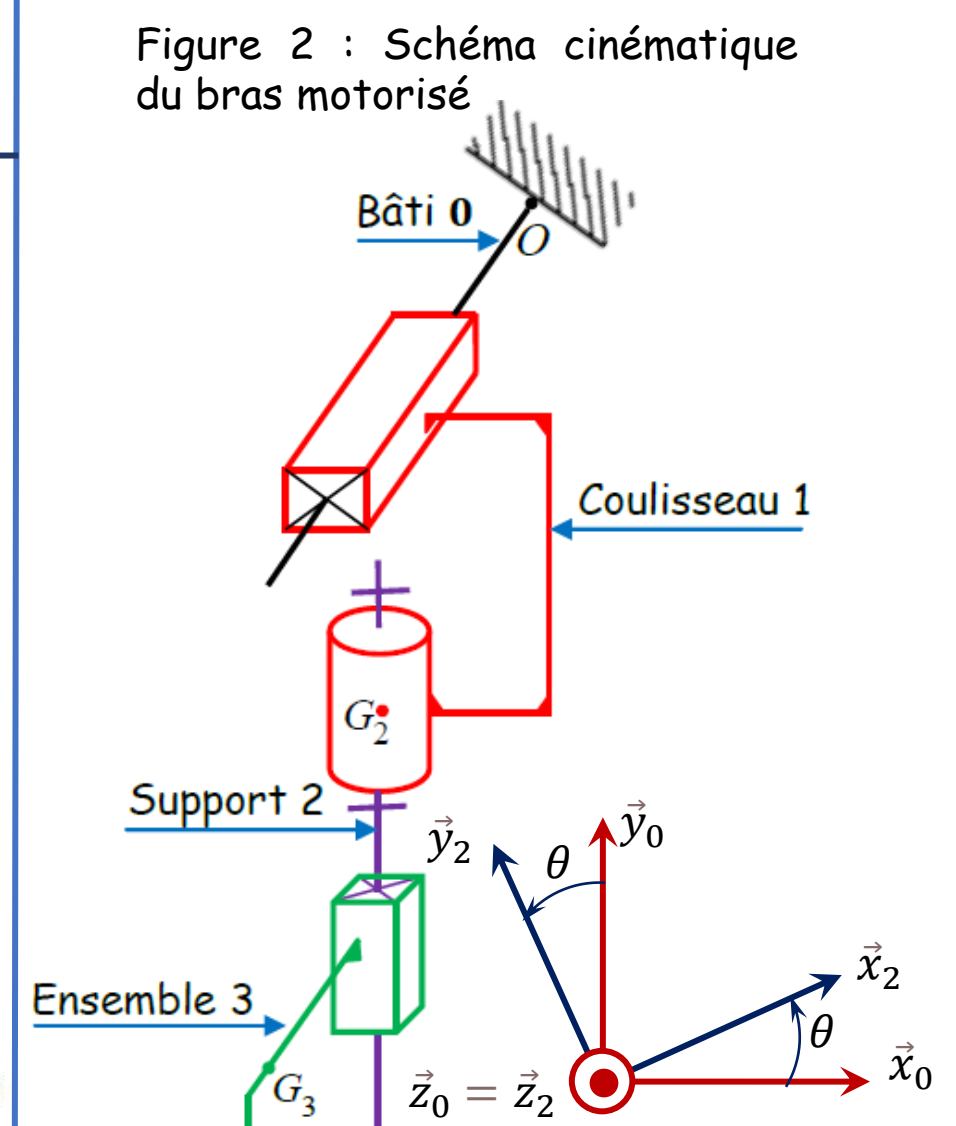
Plateau d'accueil des tubes de sang

Bâti 0

Liaison	Liaison 1/0	Liaison 2/1	Liaison 3/2
Modèle de	Glissière de	Pivot d'axe	Glissière de
liaison proposé	direction $(\vec{x}_0)$	$(G_2, \vec{z}_0)$	direction $(\vec{z}_0)$
Paramètre	x(t)	$\theta(t)$	z(t)

Pince

pneumatique



Q°- Déterminer les vecteurs vitesse des centres  $G_i$  de gravité par rapport à  $R_0$ .

### Attraction danse avec les robots

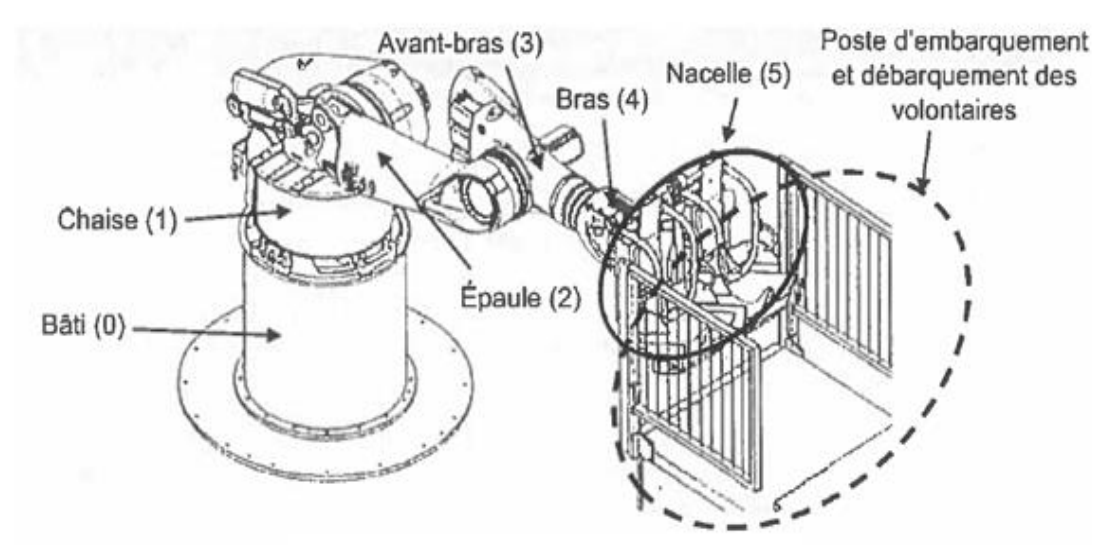


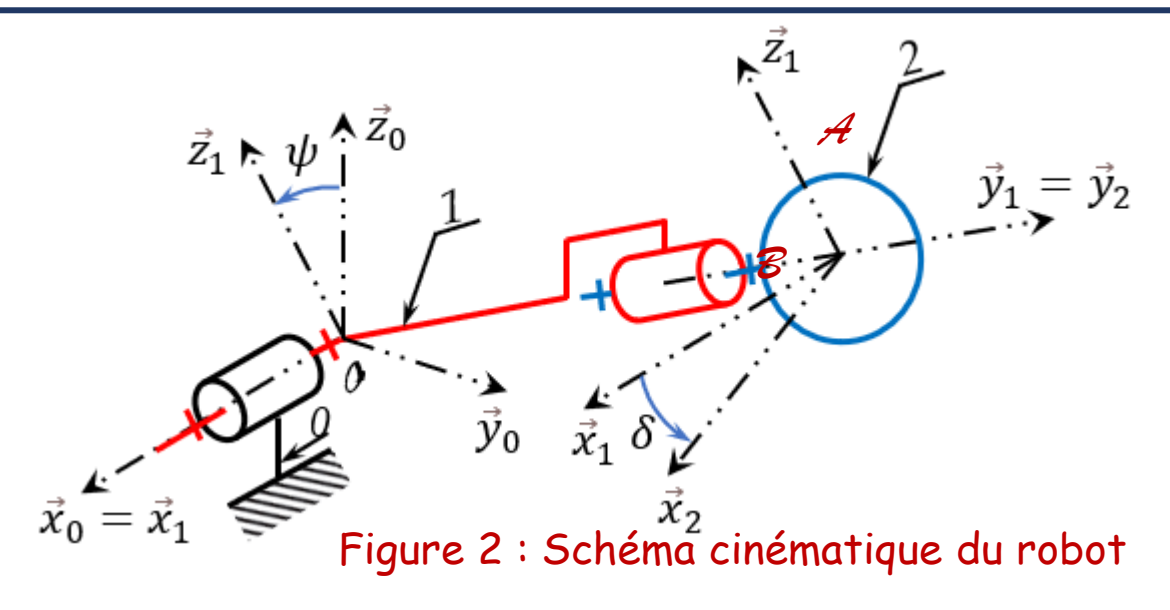
Figure 1 : Description globale du robot

Le robot est un système à 7 axes (7 degrés de liberté). Pour notre étude on se limitera à la modélisation définie par le schéma cinématique de la figure 2.

On note  $R_0(O, \vec{x}_0, \vec{y}_0, \vec{z}_0)$  le repère galiléen, associé au sol de la salle de spectacle, appelé bâti, de base  $B_0(\vec{x}_0, \vec{y}_0, \vec{z}_0)$ . Le point O est le point d'intersection des axes des deux liaisons <u>pivots</u> entre les solides O et O



# Sciences Industrielles pour l'ingénieur Opge Tanger



- $\Box$  Le repère  $R_1(O,\vec{x}_1,\vec{y}_1,\vec{z}_1)$  est associé au bras 1 avec  $\psi=(\vec{z}_0,\vec{z}_1)=(\vec{y}_0,\vec{y}_1)$
- $\Box$  Le repère  $R_2(0, \vec{x}_2, \vec{y}_2, \vec{z}_2)$  est associé à la nacelle 2 avec  $\delta = (\vec{x}_1, \vec{x}_2) = (\vec{z}_1, \vec{z}_2)$

On donne:  $\overrightarrow{OA} = L. \vec{y}_1$   $\overrightarrow{AB} = R. \vec{x}_2$ 

Question: Déterminer le vecteur vitesse du point B de la nacelle 2 dans son mouvement par rapport au repère  $R_0$ .  $\vec{V}(B \in 2/R_0)$ 

### Robot de manutention 3 axes

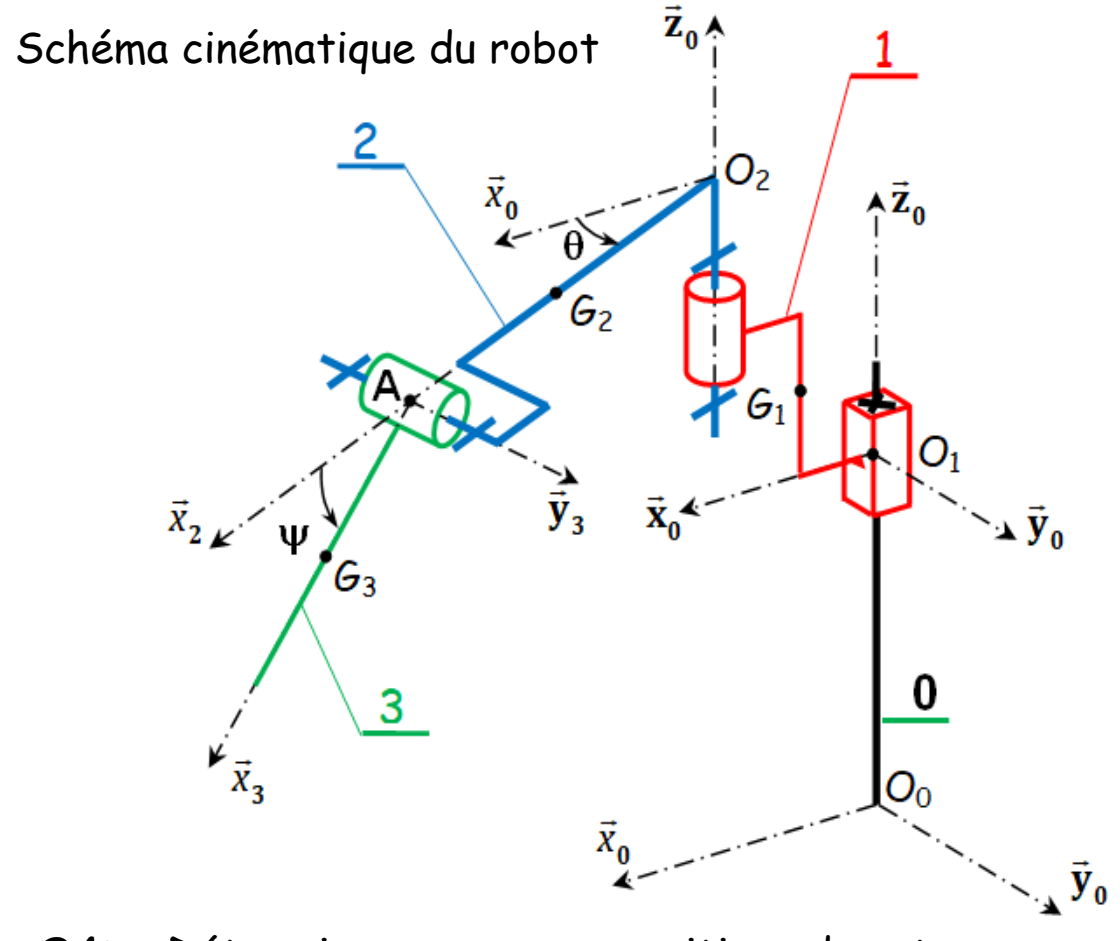
Solide	Paramétrage géométrique et Modèle adopté	
0	Repère lié $R_0(O_0, \vec{x}_0, \vec{y}_0, \vec{z}_0)$	
1	Repère lié $R_1(O_1, \vec{x}_0, \vec{y}_0, \vec{z}_0)$ L1/0 : liaison glissière de direction $\vec{z}_0$	
2	Repère lié $R_2(O_2, \vec{x}_2, \vec{y}_2, \vec{z}_2)$ $\theta = (\vec{y}_1, \vec{y}_2) = (\vec{x}_1, \vec{x}_2)$ L2/1 : liaison pivot d'axe $(O_2, \vec{z}_0)$	
3	Repère lié $R_3(A, \vec{x}_3, \vec{y}_3, \vec{z}_3)$ $\psi = (\vec{x}_2, \vec{x}_3) = (\vec{z}_2, \vec{z}_3)$ L3/2 : liaison pivot d'axe $(A, \vec{y}_2)$	

Données géométriques :	$\overrightarrow{O_0O_1} = \lambda(t).\overrightarrow{z}_0$	$\overrightarrow{O_1O_2} = a.\overrightarrow{x}_0 + b.\overrightarrow{z}_0$
$\overrightarrow{O_2 A} = h.\vec{x}_2$	$\overrightarrow{O_2G_2} = d.\vec{x}_2$	$\overrightarrow{AG_3} = L.\vec{x}_3$

Q1°- Exprimer, dans la base du repère  $R_0$ , le vecteur position du point  $G_3$ ,  $\overrightarrow{O_0G_3}$ .

Q2°- Déterminer, en utilisant la dérivation vectorielle, le vecteur vitesse  $\vec{V}(G_3 \in 3/0)$ .

Q3°- Donner les torseurs cinématiques des liaisons  $L_{3/2}$ ,  $L_{2/1}$  et  $L_{1/0}$  :  $\{V(3/2)\}$  en A,  $\{V(2/1)\}$  en  $O_2$  et  $\{V(1/0)\}$  en  $O_1$  .



Q4°- Déterminer, par composition des torseurs cinématiques, le torseur cinématique au point  $O_2$  du mouvement de 2/0,  $\{V(2/0)\}$ . En déduire le vecteur vitesse  $\vec{V}(G_2 \in 2/0)$ .

Q5°- Déterminer, par composition des torseurs cinématiques, le torseur cinématique au point A du mouvement de 3/0,  $\{V(3/0)\}$ . En déduire le vecteur vitesse  $\vec{V}(G_3 \in 3/0)$ .

# Analyse sanguine automatique

Graphe de liaisons

O Glissière de direction 
$$(\vec{x}_0)$$
 O Pivot d'axe  $(G_2, \vec{z}_0)$  O Glissière de direction  $(\vec{z}_0)$  O direction  $(\vec{z}_0)$ 

$$x(t)$$
 Les paramètres géométriques  $z(t)$ 

Les torseurs 
$$(V(1/0)) = \begin{cases} \vec{v} \\ \vec{v} \\ \vec{v} \\ \vec{v} \end{cases} \begin{cases} V(2/1) \\ \vec{v} \\ \vec{v} \end{cases} \begin{cases} V(3/2) \\ \vec{v} \\ \vec{v} \end{cases} \begin{cases} V(3/2) \\ \vec{v} \\ \vec{v} \end{cases} \begin{cases} \vec{v} \\ \vec{v} \\ \vec{v} \end{cases}$$

$$\{V(2/0)\} = \begin{cases} \dot{\theta}.\vec{z}_0 \\ \dot{x}.\vec{x}_0 \end{cases}_{G_2} \quad \{V(3/0)\} = \begin{cases} \dot{\theta}.\vec{z}_0 \\ \dot{z}.\vec{z}_0 + \dot{x}.\vec{x}_0 \end{cases}_{G_2}$$

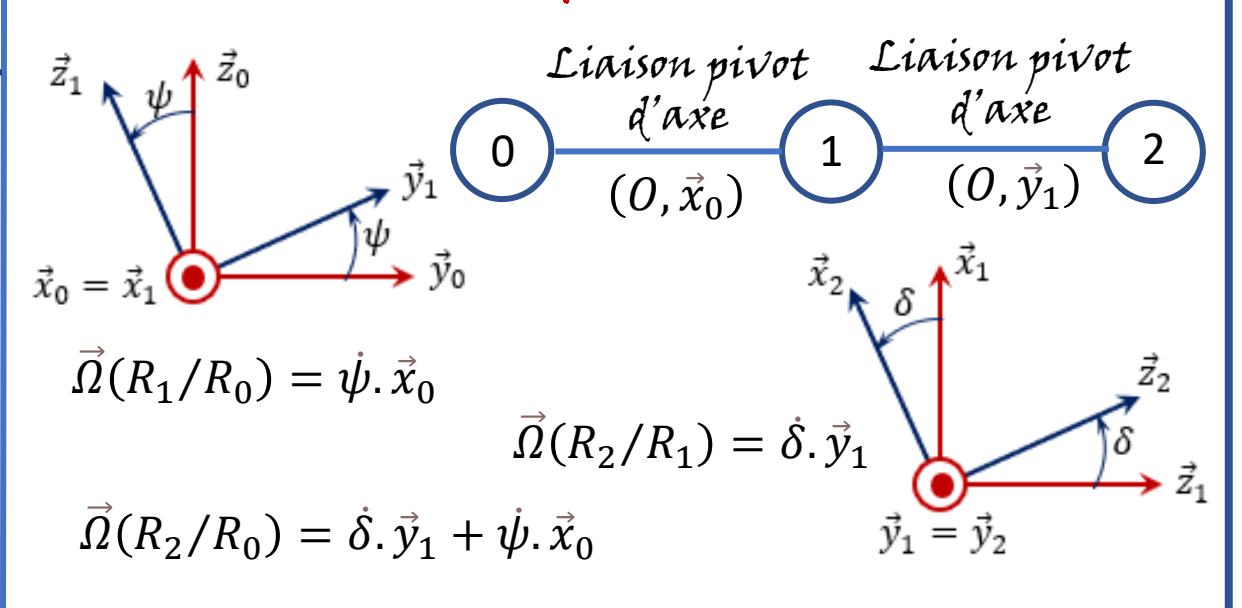
$$\vec{V}(G_1 \in 1/0) = \dot{x}.\vec{x}_0$$

$$\vec{V}(G_2 \in 2/0) = \dot{x}.\,\vec{x}_0$$

$$\vec{V}(G_3 \in 3/0) = \vec{V}(G_2 \in 3/0) + \vec{\Omega}(3/0) \wedge \overrightarrow{G_2G_3}$$

$$\vec{V}(G_3 \in 3/0) = \dot{z}.\vec{z_0} + \dot{x}.\vec{x_0} + (d_2 + d).\dot{\theta}.\vec{y_2}$$

### Attraction danse avec les robots



$$\vec{V}(B \in 2/0) = \left[\frac{d}{dt} \overrightarrow{OB}\right]_{R_0} = L \cdot \left[\frac{d}{dt} \vec{y}_1\right]_{R_0} + R \cdot \left[\frac{d}{dt} \vec{x}_2\right]_{R_0}$$

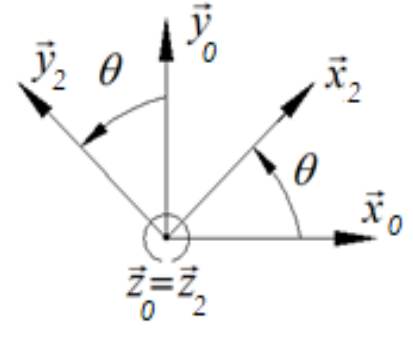
$$\vec{V}(B \in 2/0) = L.\dot{\psi}.\dot{z}_1 + R.\left(\dot{\delta}.\dot{z}_2 + \dot{\psi}.\sin\delta.\dot{y}_1\right)$$

$$\left| \frac{d}{dt} \vec{y}_1 \right|_{R} = \vec{\Omega}(R_1/R_0) \wedge \vec{y}_1 = \dot{\psi}.\vec{z}_1$$

$$\begin{split} & \left[ \frac{d}{dt} \vec{x}_2 \right]_{R_0} = \vec{\Omega} (R_2 / R_0) \wedge \vec{x}_2 = \left( \dot{\delta} \cdot \vec{y}_1 + \dot{\psi} \cdot \vec{x}_0 \right) \wedge \vec{x}_2 \\ & = -\dot{\delta} \cdot \vec{z}_2 + \dot{\psi} \cdot \sin \delta \cdot \vec{y}_1 \end{split}$$

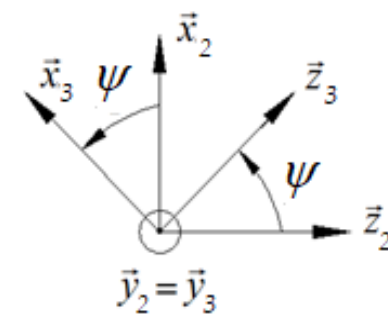
Robot de manutention 3 axes

Q1°- 
$$\overrightarrow{O_0G_3} = \overrightarrow{O_0O_1} + \overrightarrow{O_1O_2} + \overrightarrow{O_2A} + \overrightarrow{AG_3}$$
  
 $\overrightarrow{O_0G_3} = \lambda(t).\vec{z}_0 + a.\vec{x}_0 + b.\vec{z}_0 + h.\vec{x}_2 + L.\vec{x}_3$ 



 $\vec{x}_2 = \cos\theta \cdot \vec{x}_0 + \sin\theta \cdot \vec{y}_0$ 

 $\vec{x}_3 = \cos\psi \cdot \vec{x}_2 - \sin\psi \cdot \vec{z}_2$ 



$$\overrightarrow{O_0G_3} = \begin{pmatrix} a + h.\cos\theta + L.\cos\psi.\cos\theta \\ h.\sin\theta + L.\cos\psi.\sin\theta \\ \lambda(t) + b - L.\sin\psi \end{pmatrix}$$

Q2°- 
$$\vec{V}(G_3 \in 3/0) = \left[\frac{d}{dt} \overrightarrow{O_0 G_3}\right]_{R_0}$$

$$\vec{V}(G_3 \in 3/0) = \dot{\lambda}(t) \cdot \vec{z}_0 + h \cdot \left[ \frac{d}{dt} \vec{x}_2 \right]_{R_0}^{R_0} + L \cdot \left[ \frac{d}{dt} \vec{x}_3 \right]_{R_0}$$

CNC 17 
$$\left[ \frac{d}{dt} \vec{x}_2 \right]_{R_0} = \vec{\Omega}(R_2/R_0) \wedge \vec{x}_2 \qquad \left[ \frac{d}{dt} \vec{x}_3 \right]_{R_0} = \vec{\Omega}(R_3/R_0) \wedge \vec{x}_3$$

$$= \dot{\theta} \cdot \vec{z}_2 \wedge \vec{x}_2 = \dot{\theta} \cdot \vec{y}_2 \qquad = (\dot{\theta} \cdot \vec{z}_2 + \dot{\psi} \cdot \vec{y}_3) \wedge \vec{x}_3 = \dot{\theta} \cdot \cos\psi \cdot \vec{y}_2 - \dot{\psi} \cdot \vec{z}_3$$

$$\vec{V}(G_3 \in 3/0) = \dot{\lambda}(t).\vec{z}_0 + (h + L.\cos\psi).\dot{\theta}.\vec{y}_2 - L.\dot{\psi}.\vec{z}_3$$

$$\begin{aligned} \mathbf{Q3}^{\circ} - & \{V(1/0)\} = \left\{ \vec{0} \\ \dot{\lambda}(t) \cdot \vec{z}_0 \right\}_{O_1(ou \forall M)} & \{V(2/1)\} = \left\{ \vec{\theta} \cdot \vec{z}_0 \\ \vec{0} \right\}_{O_2(ou \forall M \in O_2, \vec{z}_0)} \\ & \{V(3/2)\} = \left\{ \vec{\psi} \cdot \vec{y}_2 \right\}_{A(ou \forall M \in A, \vec{y}_2)} \end{aligned}$$

Q4°- 
$$\{V(2/0)\} = \{V(2/1)\} + \{V(1/0)\}$$

$$\{V(2/0)\} = \left\{ \begin{matrix} \dot{\theta}.\vec{z}_0 \\ \dot{\lambda}(t).\vec{z}_0 \end{matrix} \right\}_{O_2(ou\forall M \in O_2,\vec{z}_0)}$$

$$\vec{V}(G_2 \in 2/0) = \vec{V}(O_2 \in 2/0) + \vec{\Omega}(2/0) \wedge \overrightarrow{O_2G_2}$$

$$\overrightarrow{O_2G_2} = d.\,\vec{x}_2$$
  $\vec{V}(G_2 \in 2/0) = \dot{\lambda}(t).\,\vec{z}_0 + d.\,\dot{\theta}.\,\vec{y}_2$ 

**Q5°-** 
$${V(3/0)} = {V(3/2)} + {V(2/1)} + {V(1/0)}$$

$$\{V(3/2)\} = \left\{ \begin{matrix} \dot{\psi}.\vec{y}_2 \\ \vec{0} \end{matrix} \right\}_{A(ou\forall M \in A, \vec{y}_2)}$$

$$\{V(2/1)\} = \left\{ \begin{matrix} \dot{\theta}.\vec{z}_0 \\ \vec{0} \end{matrix} \right\}_{O_2(ou\forall M \in O_2, \vec{z}_0)} \qquad \qquad \overrightarrow{O_2A} = h.\vec{x}_2$$

$$\vec{V}(A \in 2/1) = \vec{V}(O_2 \in 2/1) + \vec{\Omega}(2/1) \wedge \overrightarrow{O_2 A}$$

$$\{V(2/1)\} = \begin{cases} \dot{\theta}.\vec{z}_0 \\ h.\dot{\theta}.\vec{v}_2 \end{cases}$$

$$\{V(1/0)\} = \left\{ \vec{0} \atop \dot{\lambda}(t). \vec{z}_0 \right\}_{O_1(ou \forall M)}$$

$$\{V(3/0)\} = \begin{cases} \dot{\psi}. \, \dot{y}_2 + \dot{\theta}. \, \dot{z}_0 \\ h. \, \dot{\theta}. \, \dot{y}_2 + \dot{\lambda}(t). \, \dot{z}_0 \end{cases}_A$$

$$\vec{V}(G_3 \in 3/0) = \vec{V}(A \in 3/0) + \vec{\Omega}(3/0) \wedge \overrightarrow{AG_3}$$

$$\vec{\Omega}(3/0) \wedge \overrightarrow{AG_3} = (\dot{\psi}.\vec{y}_2 + \dot{\theta}.\vec{z}_3) \wedge L.\vec{x}_3$$

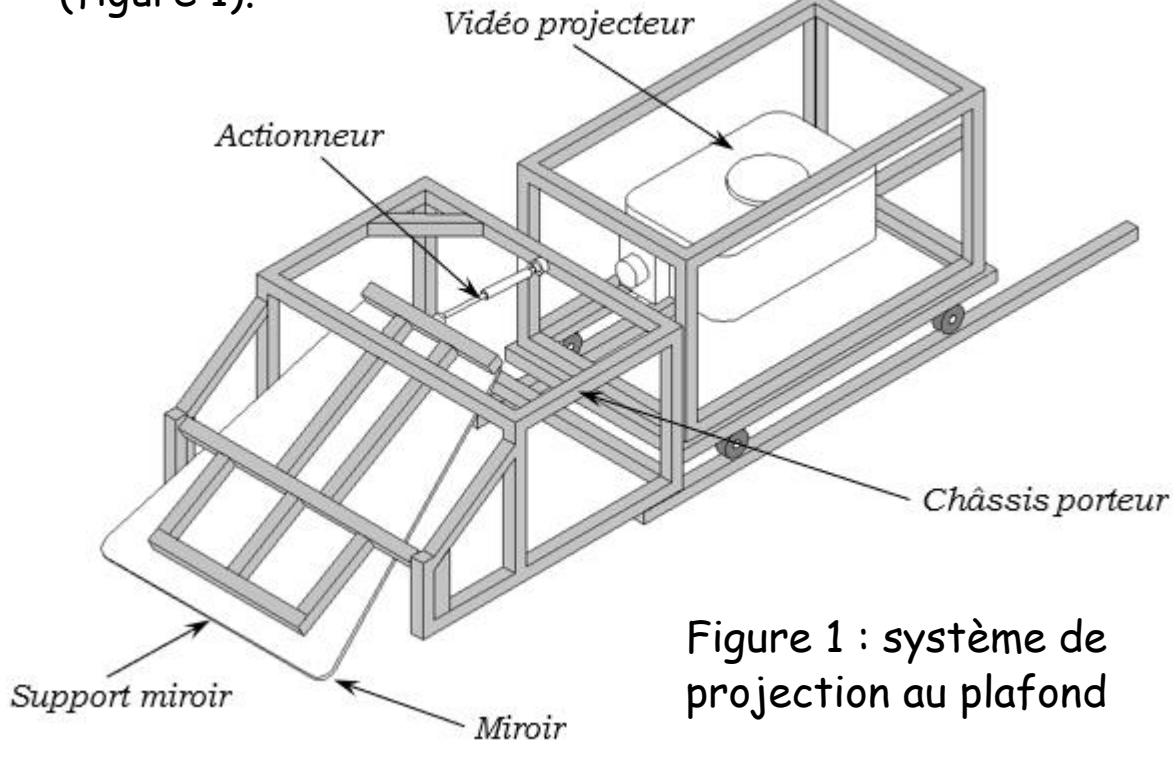
$$= L.(-\dot{\psi}.\vec{z}_3 + \dot{\theta}.\cos\psi).\vec{y}_2$$

$$\vec{V}(G_3 \in 3/0) = \dot{\lambda}(t).\,\vec{z}_0 + (h+L.\cos\psi).\,\dot{\theta}.\,\vec{y}_2 - L.\dot{\psi}.\,\vec{z}_3$$

Prof Hi

# Système d'orientation de miroirs

Un système de projection sur écran du plafond fait partie d'un ensemble de cinq systèmes de projection utilisés dans des techniques de réalité virtuelle (figure 1).



Dans cette étude on s'intéressera au système d'orientation de miroir assurant la projection des images issues du vidéoprojecteur sur le plafond. La figure 2 présente son diagramme de blocs internes (page suivante)..

# Sciences Industrielles pour l'ingénieur Opge Tanger

Q1. A l'aide du diagramme de blocs internes, compléter sur la figure R1 du document réponse DR1 les zones manquantes des chaînes fonctionnelles du système d'orientation de miroir.

L'orientation du support de miroir est commandée par un vérin électrique. La figure 3 présente le schéma cinématique du mécanisme d'orientation.

Les principaux constituants de ce mécanisme sont :

- ✓ Le châssis (0).
- ✓ L'ensemble miroir + support (1) : en liaison pivot d'axe  $(0, \vec{z}_0)$  avec le châssis (0).
- ✓ Le corps du vérin (3) : en liaison pivot d'axe  $(B, \vec{z}_0)$  avec le châssis (0).
- ✓ La tige du vérin (2) : en liaison pivot d'axe  $(B, \vec{z}_0)$  avec (1) et en liaison glissière de direction  $(\vec{x}_2)$  avec (3).

### Données géométriques:

$$\overrightarrow{OA} = a \cdot \vec{x}_1$$
  $\overrightarrow{OB} = d \cdot \vec{x}_0 + h \cdot \vec{y}_0$   $\overrightarrow{BA} = -\lambda(t) \cdot \vec{x}_2$   $a = 905mm$   $d = 1000mm$   $h = 630mm$ 

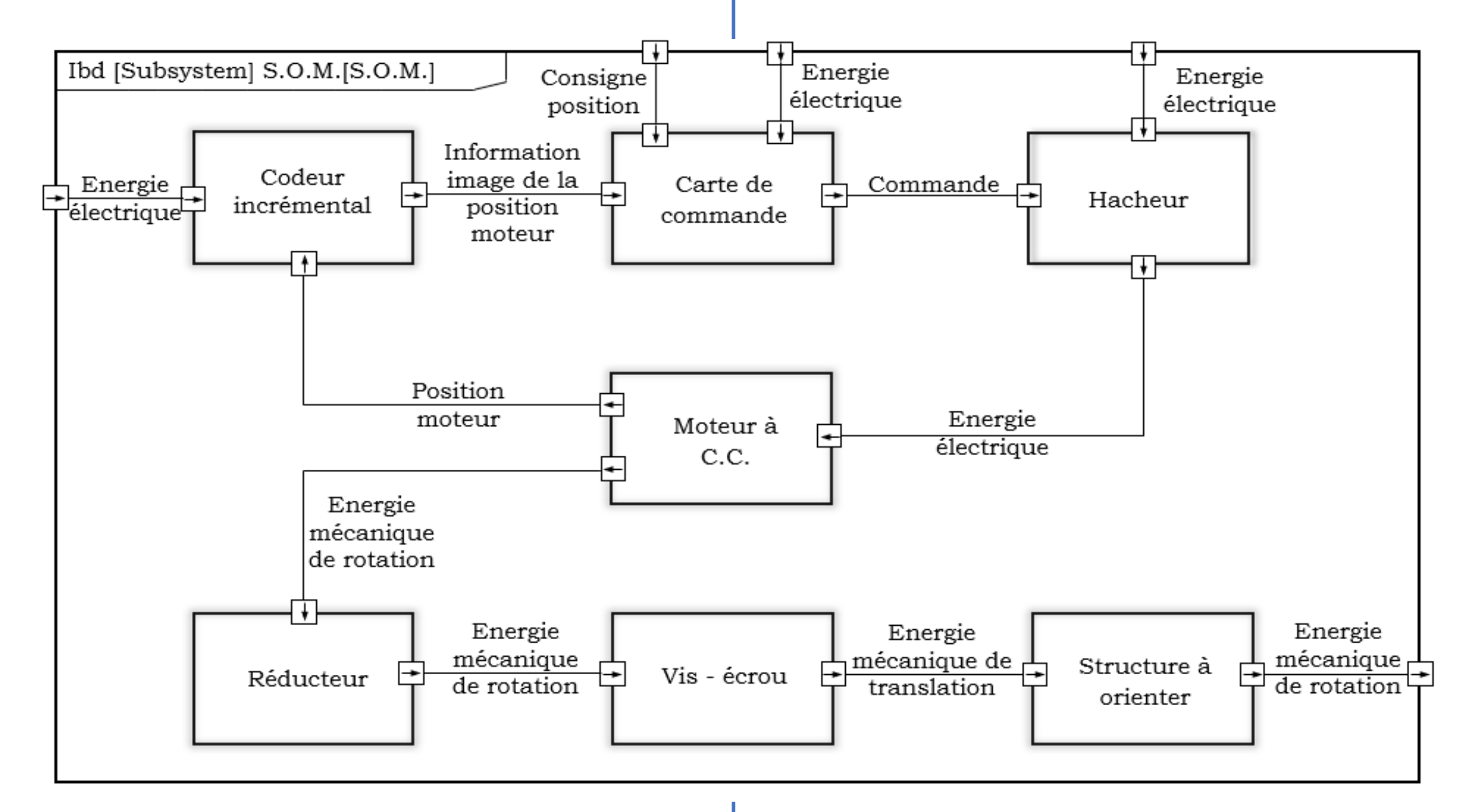
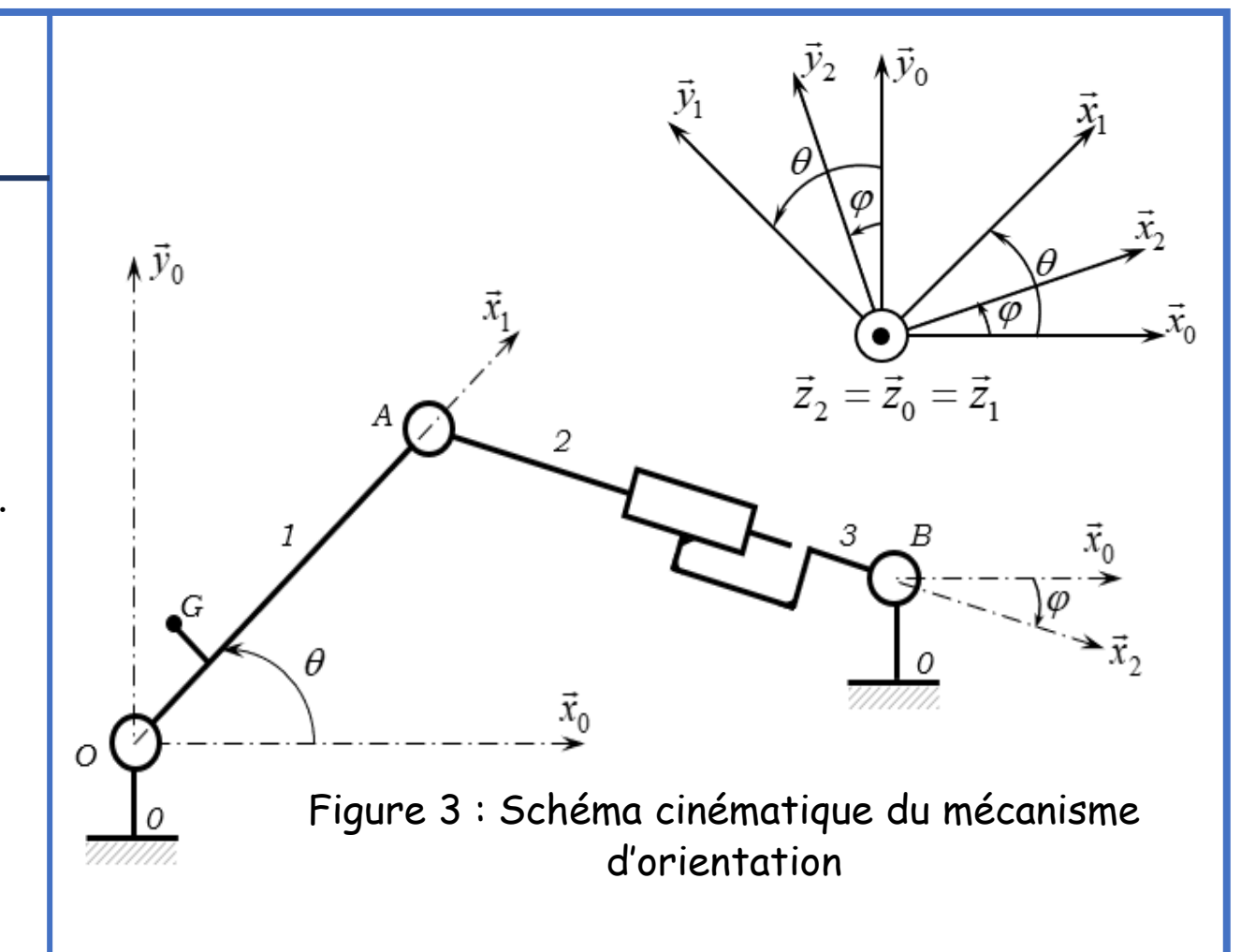


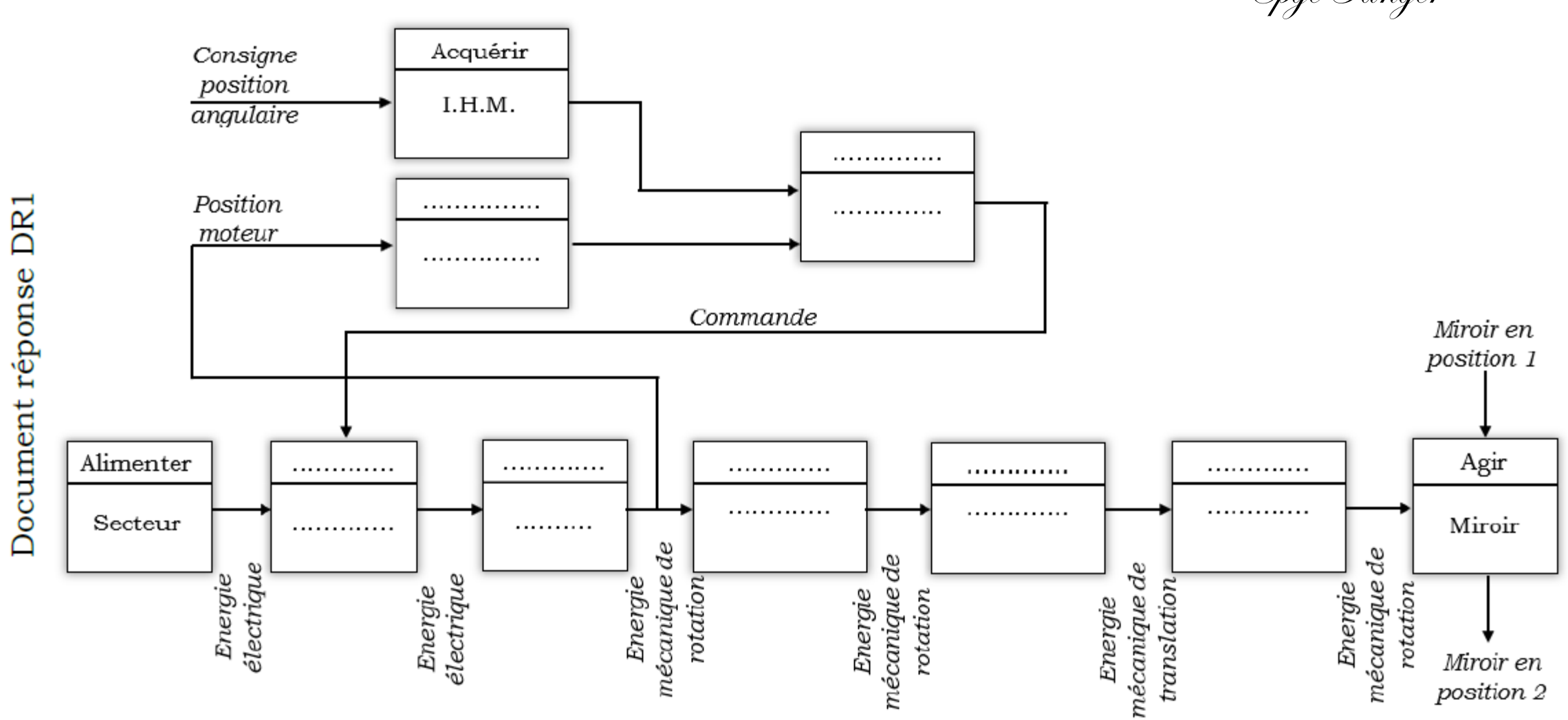
Figure 2 : Diagramme de blocs internes

Prof\_Hi

- ✓ Le repère  $R_0(0, \vec{x}_0, \vec{y}_0, \vec{z}_0)$  est lié au châssis (0). Ce repère est supposé galiléen.
- ✓ Le repère  $R_1(0, \vec{x}_1, \vec{y}_1, \vec{z}_1)$  est lié à l'ensemble (1).
- $\checkmark$  Le repère  $\theta = (\vec{x}_0, \vec{x}_1) = (\vec{y}_0, \vec{y}_1)$  est lié à l'ensemble (1).
- Le repère  $R_2(A,\vec{x}_2,\vec{y}_2,\vec{z}_2)$  est lié à la tige du vérin électrique (2). On note  $\varphi=(\vec{x}_0,\vec{x}_2)=(\vec{y}_0,\vec{y}_2)$  l'angle de rotation du vérin électrique par rapport au châssis (0).
- Q2. Déterminer la loi entrée/sortie géométrique.
- Q3. Déterminer, en utilisant la fermeture cinématique en A, la loi entrée/sortie cinématique



Prof\_Hfi



Prof Hi

Sciences Industrielles pour l'ingénieur Opge Tanger Q1. Transmettre Acquérir Consigne position I.H.M. angulaire Traiter. Acquérir Carte de Position Document réponse DR1 commande moteur Codeur Commande Miroir en position 1 Moduler Convertir Transmettre Agir Alimenter **Transmettre Transmettre** Structure Vis-écrou Hacheur MCC Miroir Secteur Réducteur à orienter Energie 🖰 mécanique de mécanique de demécanique de électrique Energie électrique Energie Energierotation translation rotation mécanique Energie rotation Energie Miroir en position 2

Prof Iff

$$\overrightarrow{OA} = \overrightarrow{OB} + \overrightarrow{BA} \quad \Rightarrow \quad a.\, \vec{x}_1 = d.\, \vec{x}_0 + h.\, \vec{y}_0 - \lambda(t).\, \vec{x}_2$$

La loi entrée/sortie 
$$/\vec{x}_0 \Rightarrow a.\cos\theta = d - \lambda(t).\cos\varphi$$
 géométrique  $/\vec{y}_0 \Rightarrow a.\sin\theta = h - \lambda(t).\sin\varphi$ 

$$\lambda(t) = \sqrt{(d - a.\cos\theta)^2 + (h - a.\sin\theta)^2}$$

### Q2. Détermination de la loi entrée/sortie cinématique

Graphe de structure Liaison pivot 
$$\{V(1/0)\}$$
 (de liaisons)  $0$  d'axe  $(O, \vec{z}_0)$   $= \{\dot{\theta}, \vec{z}_0\}$ 

$$\{V(3/0)\} = \begin{cases} \dot{\varphi}.\vec{z_0} \\ \vec{0} \end{cases}_B \text{ in } \begin{cases} V(2/3) \\ \vec{0} \end{cases}_B \begin{cases} V(2/3) \\ \vec{0} \end{cases}_A \begin{cases} V(2/3) \\ \vec{0} \end{cases}_A \begin{cases} \vec{0} \\ -\dot{\lambda}.\vec{x_2} \end{cases}_A \begin{cases} \vec{0} \\ -\dot{\lambda}.\vec{z_0} \end{cases}_A \begin{cases} \vec{0} \\ \vec{0} \end{cases}_A \begin{cases} \vec{0} \\ \vec{0} \end{cases}_A \begin{cases} \vec{0} \\ \vec{0} \end{cases}_A \end{cases}$$

Liaison glissière Fermeture cinématique  $(\vec{x}_2)$ 

$$\{V(1/0)\} = \{V(1/2)\} + \{V(2/3)\} + \{V(3/0)\}$$

$$\mathcal{P}_{rof} \mathcal{H}_{i} \vec{V}(A,1/0) = \vec{V}(A,1/2) + \vec{V}(A,2/3) + \vec{V}(A,3/0)$$

$$\vec{V}(A,1/2) = \vec{0}$$

$$\vec{V}(A,1/0) = a.\dot{\theta}.\vec{y}_1$$

$$\square \vec{V}(A,2/3) = -\dot{\lambda}(t).\vec{x}_2$$

$$\vec{V}(A,3/0) = -\lambda(t).\dot{\varphi}.\dot{y}_2$$

$$a.\dot{\theta}.\vec{y}_1 = -\dot{\lambda}(t).\vec{x}_2 - \lambda(t).\dot{\phi}\vec{y}_2$$

$$/\vec{x}_2 \Rightarrow -a.\dot{\theta}.\sin(\theta - \varphi) = -\dot{\lambda}(t)$$

$$/\vec{y}_2 \Rightarrow a.\dot{\theta}.\cos(\theta - \varphi) = -\lambda(t).\dot{\varphi}$$

$$(a.\cos\theta = d - \lambda(t).\cos\varphi).\sin\theta$$

$$(a.\sin\theta = h - \lambda(t).\sin\varphi).\cos\theta$$

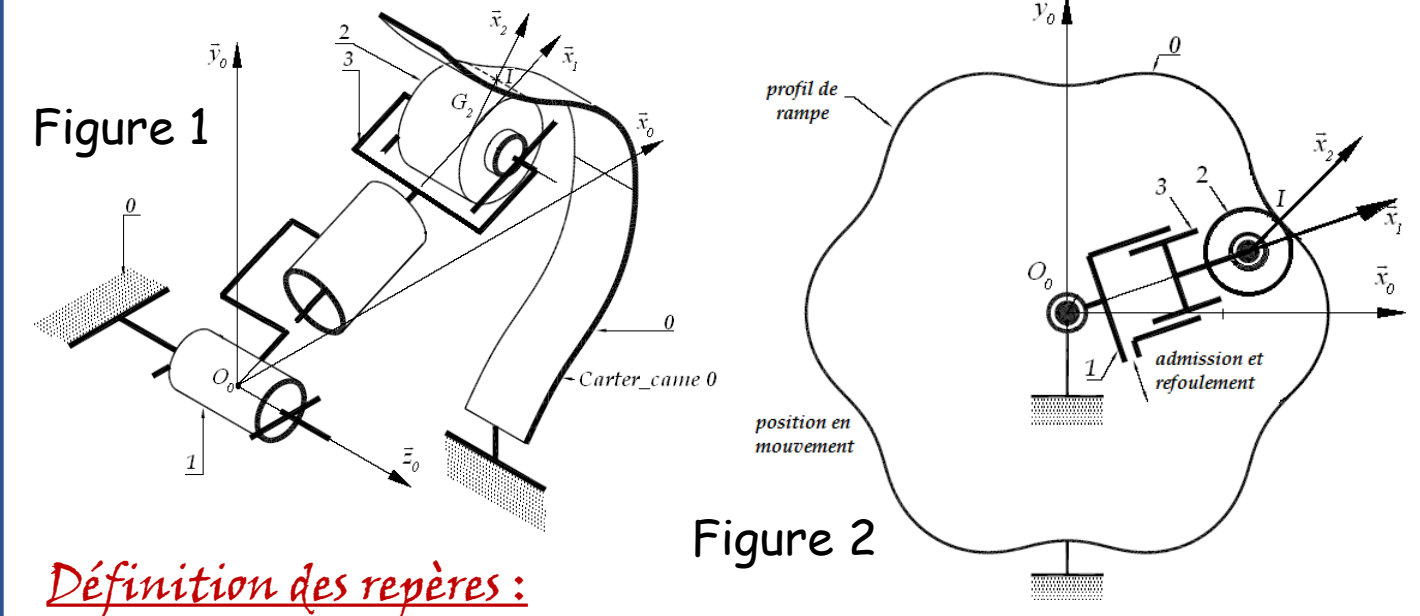
$$\Rightarrow \lambda(t).\sin(\theta - \varphi) = d.\sin\theta - h.\cos\theta$$

$$\dot{\lambda}(t) = \frac{a}{\lambda(t)} \cdot (d \cdot \sin\theta - h \cdot \cos\theta) \cdot \dot{\theta}$$

$$\dot{\lambda}(t) = \frac{a. (d. \sin\theta - h. \cos\theta)}{\sqrt{(d - a. \cos\theta)^2 + (h - a. \sin\theta)^2}}.$$

# Etude d'un moteur hydraulique

Le mécanisme à came fixe transforme la translation des pistons 3 par rapport au bloc-cylindres 1 en rotation de ce même bloccylindres 1 par rapport au carter-came 0.



 $R_0(O_0; \vec{x}_0, \vec{y}_0, \vec{z}_0)$  Repère galiléen lié au carter-came 0.

 $R_1(O_0; \vec{x}_1, \vec{y}_1, \vec{z}_1)$  Repère lié à l'arbre de sortie et au bloc-cylindres 1.

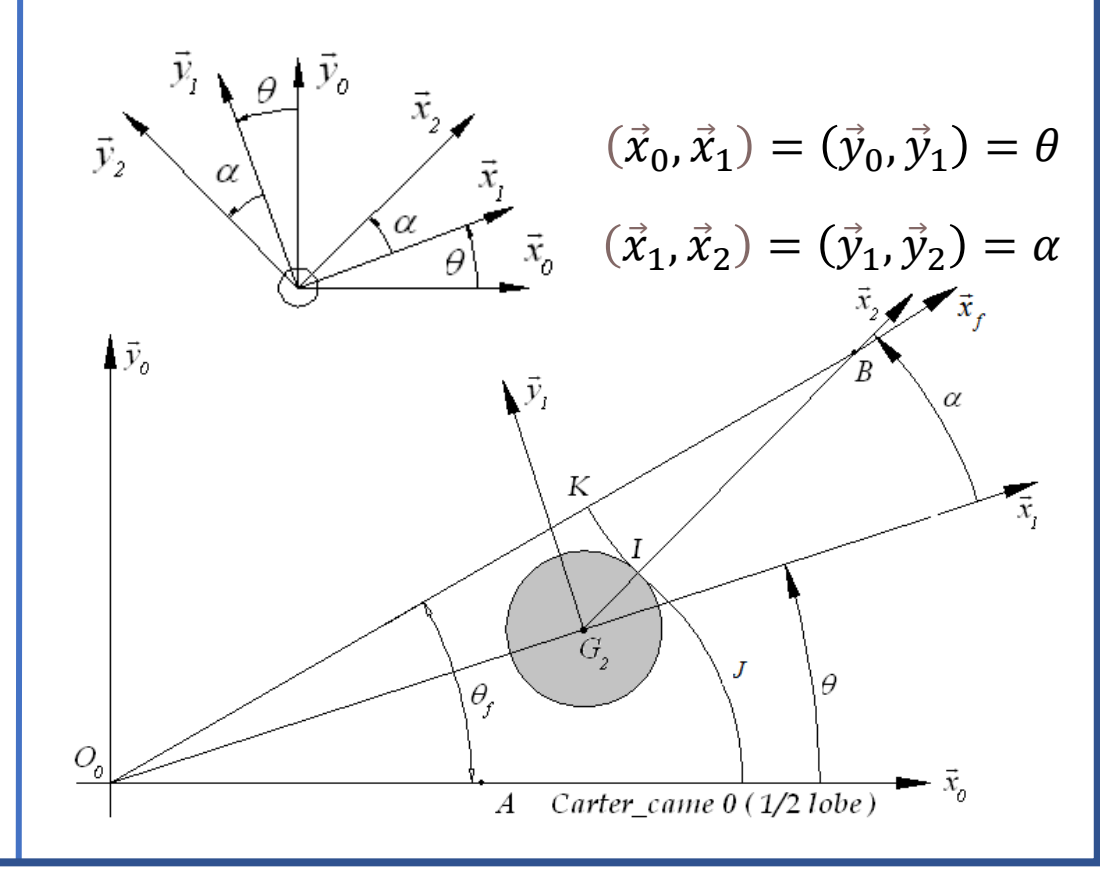
 $R_2(G_2; \vec{x}_2, \vec{y}_2, \vec{z}_2)$  Repère associé à la définition du contact en **I**.

## Définition des paramètres géométriques:

$$\overrightarrow{O_0G_2} = \rho . \vec{x}_1 \qquad \overrightarrow{G_2B} = a . \vec{x}_2$$

$$\overrightarrow{G_2I} = R . \vec{x}_2 \qquad \overrightarrow{O_0B} = L . \vec{x}_f$$

Le domaine d'étude mécanique pour lequel I appartient à l'arc JK, est défini par  $\theta \in$  $[\theta_i = 19.9^\circ; \theta_f = 30^\circ]$ 



- $\Box$  La liaison 1/0 est pivot d'axe  $(O_0, \vec{z}_0)$
- $\Box$  La liaison 3/1 est pivot glissant d'axe  $(G_2, \vec{x}_1)$
- $\Box$  La liaison 2/3 est pivot d'axe  $(G_2, \vec{z}_0)$
- $\Box$  La liaison 2/0 est linéaire rectiligne de normale  $(I, \vec{x}_2)$  et de direction  $(I, \vec{z}_0)$

# Objectif:

Détermination de la relation entre le paramètre cinématique du déplacement du piston 3 et le paramètre cinématique de la rotation de l'arbre de sortie 1.

- > Le problème est supposé plan
- $\succ$  On suppose que le galet 2 roule sans glisser sur 0 en I.

Q1°- Etablir la relation entre  $\alpha$  et  $\theta$  puis montrer que :

$$\rho = L \cdot \left( \cos(\theta_f - \theta) - \left( \frac{a^2}{L^2} - \sin^2(\theta_f - \theta) \right)^{1/2} \right)$$

Q2°- Par fermeture cinématique au point  $G_2$ , déterminer la vitesse angulaire  $\dot{\theta}$  en fonction de  $\theta$ ,  $\rho$ ,  $\theta_f$ , L, a et  $\dot{\rho}$ .

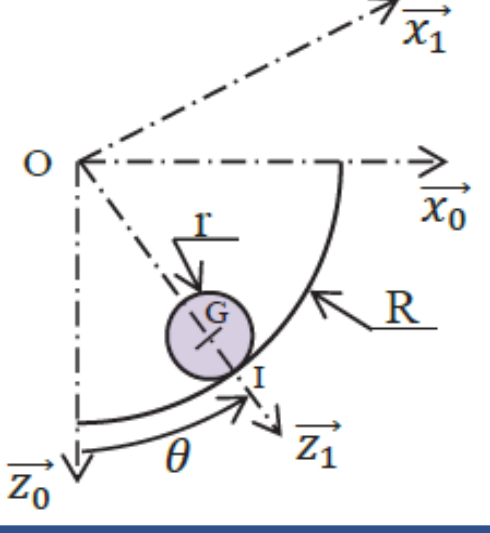
# Sciences Industrielles pour l'ingénieur Opge Tanger

### Mouvement d'une bille

Une bille de centre de masse G, de rayon r, roule sans glisser sur un rail circulaire (0) de rayon R dans le plan  $R_0(0, \vec{x}_0, \vec{y}_0)$ .

Soit I est le point de contact entre la bille et le rail circulaire ; (liaison bille /0 ponctuelle en I). la position du point I sur le rail est repérée par :  $\theta(t)=(\vec{x}_0,\vec{x}_1)=(\vec{z}_0,\vec{z}_1)$ 

On note  $\{V(bill\,e/0)\} = \left\{ \begin{aligned} &\vec{\varOmega}(bill\,e/0) = \omega_b.\vec{y}_0 \\ &\vec{V}(G \in bill\,e/0) = v.\vec{x}_1 \end{aligned} \right\}_G$  le torseur cinématique de la bille par rapport au rail 0 ;



Q1°- En exprimant la condition de roulement sans glissement en I, déterminer  $\omega_b$  et v, les composantes du torseur cinématique en G de la bille par rapport au rail 0, en fonction de  $\dot{\theta}$ , r et R.

 $\overrightarrow{O_0B} = \overrightarrow{O_0G_2} + \overrightarrow{G_2B}$   $\Rightarrow L.\overrightarrow{x}_f = \rho.\overrightarrow{x}_1 + a.\overrightarrow{x}_2$ 

 $/\vec{x}_1 \Rightarrow L.\cos(\theta_f - \theta) = \rho + a.\cos\alpha$ 

 $\left(L.\cos(\theta_f - \theta) - \rho\right)^2 + \left(L.\sin(\theta_f - \theta)\right)^2 = a^2$ 

 $\rho = L \cdot \left( \cos(\theta_f - \theta) - \left( \frac{a^2}{L^2} - \sin^2(\theta_f - \theta) \right)^{1/2} \right)$ 

 $\{V(2/0)\} = \{V(2/3)\} + \{V(3/1)\} + \{V(1/0)\}$ 

 $\{V(1/0)\} = \begin{cases} w_{10} \cdot \vec{z}_0 \\ \vec{0} \end{cases} \qquad \{V(2/3)\} = \begin{cases} w_{23} \cdot \vec{z}_0 \\ \vec{0} \end{cases} \}_{G_2}$ 

Q2°- Fermeture cinématique en

 $/\vec{y}_1 \Rightarrow L.\sin(\theta_f - \theta) = a.\sin\alpha$ 

$$\{V(3/1)\} = \begin{cases} w_{31}.\vec{x}_1 \\ v_{31}.\vec{x}_1 \end{cases}_{G_2}$$

$$\begin{array}{c}
31. \vec{\chi}_1 \\
31. \vec{\chi}_1
\end{array}$$

$$\begin{array}{c}
G_2
\end{array}$$

 $\{V(2/0)\} = \begin{cases} w_{x20}.\vec{x}_2 + w_{z20}.\vec{z}_0 \\ v_{y20}.\vec{y}_2 + v_{z20}.\vec{z}_0 \end{cases}$ 

Dans le plan (x,y) ces

 $\frac{\dot{\rho}}{\rho.\,\dot{\theta}} = -tan\alpha = -\frac{L.\sin(\theta_f - \theta)}{L.\cos(\theta_f - \theta) - \rho}$ 

R.S.G. en I

 $\vec{V}(G_2,2/0) = \vec{V}(G_2,2/3) + \vec{V}(G_2,3/1) + \vec{V}(G_2,1/0)$ 

torseur deviennent

 $\{V(3/1)\} = \left\{ \begin{matrix} \vec{0} \\ v_{31} \cdot \vec{x}_1 \end{matrix} \right\}_{G_2}$ 



linéaire

rectiligne

 $(I,\vec{x}_2)$ 

 $\{V(2/0)\} = \begin{cases} w_{z20}. \, \bar{z}_0 \\ v_{v20}. \, \bar{y}_2 \end{cases}.$ 

 $\{V(2/0)\} = \begin{cases} w_{z20} \cdot \vec{z}_0 \\ \vec{0} \end{cases}.$ 

$$0 \qquad \begin{array}{c} \textit{liaison pivot} \\ \hline 0 \\ \textit{liaison} \\ \end{array}$$

liaison pivot

 $-R.\,\omega_{20}.\,\vec{y}_2 = \dot{\rho}.\,\vec{x}_1 + \rho.\,\dot{\theta}.\,\vec{y}_1$ 

 $\dot{\theta} = -\dot{\rho}.\frac{L.\cos(\theta_f - \theta) - \rho}{\rho.L.\sin(\theta_f - \theta)}$ 



glissant

$$(G_2, \vec{x}_1)$$
 liaison pivot

### Mouvement d'une bille:

La condition de roulement sans glissement en I entre la bille et le rail (0) donne :

$$\vec{V}(I \in bill \, e/0) = \vec{0}$$

$$\vec{V}(G \in bill \, e/0) + \vec{\Omega}(bill \, e/0) \wedge \overrightarrow{GI} = \vec{0}$$

$$v.\vec{x}_1 + \omega_b.\vec{y}_0 \wedge r.\vec{z}_1 = \vec{0}$$

$$v + r \cdot \omega_b = 0$$

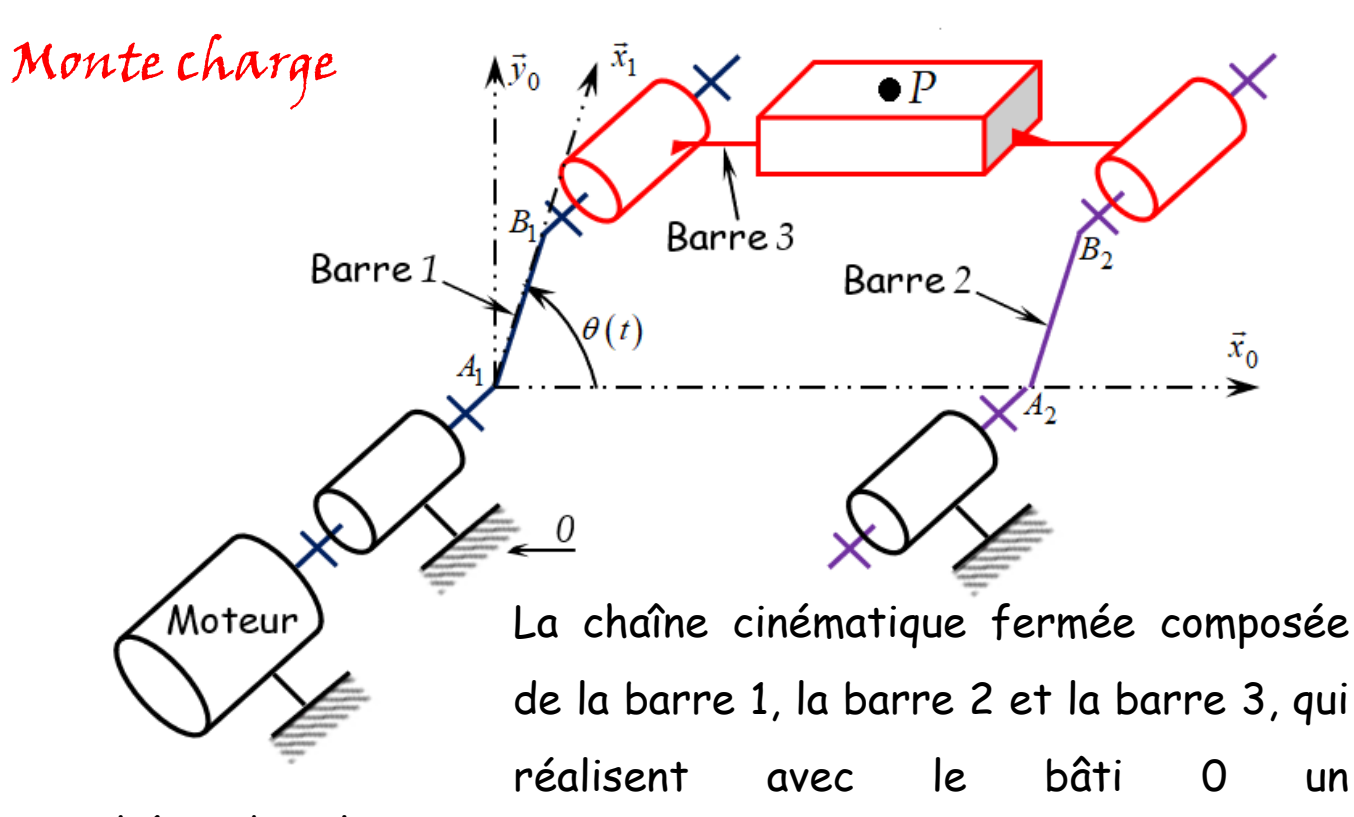
$$\omega_b = -\frac{v}{r}$$

$$\vec{V}(G \in bill \, e/0) = \left[\frac{d\overrightarrow{oG}}{dt}\right]_0 = (R - r) \cdot \left[\frac{d\overrightarrow{z_1}}{dt}\right]_0$$

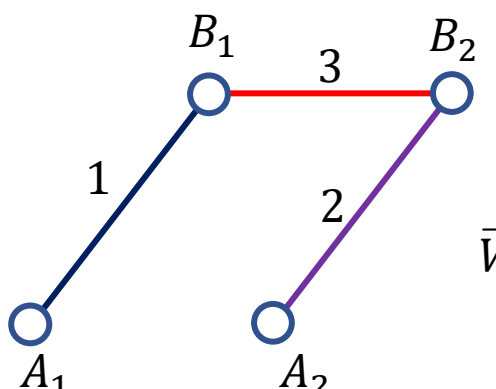
$$\vec{V}(G \in bill \, e/0) = (R-r).\dot{\theta}.\vec{x}_1$$

$$v = (R - r) \dot{\theta}$$

$$\omega_b = -\frac{R-r}{r} \cdot \dot{\theta}$$



Le schéma dans le plans devient:



de la barre 1, la barre 2 et la barre 3, qui réalisent avec le bâti 0 un parallélogramme déformable  $(A_1B_1B_2A_2)$ , permet d'assujettir la barra 3 à un mouvement de translation circulaire par rapport au bâti 0.  $\Rightarrow \vec{\Omega}(3/0) = \vec{0}$ 

$$\vec{V}(P \in 3/0) = \vec{V}(B_1 \in 3/0) + \vec{\Omega}(3/0) \land \overrightarrow{PB_1}$$

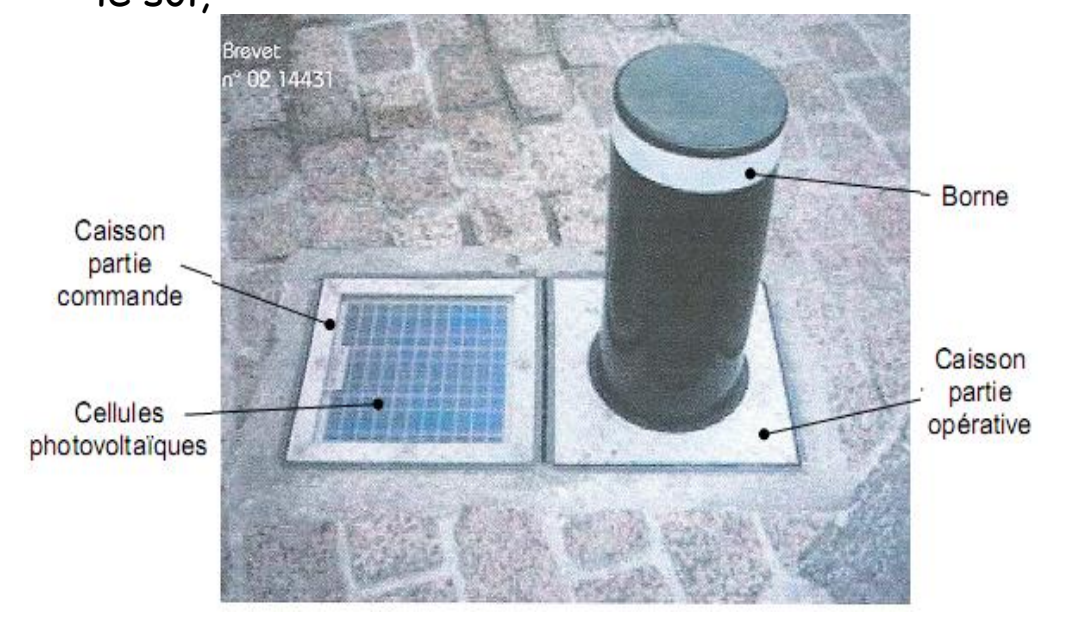
 $\vec{V}(P \in 3/0) = L.\dot{\theta}.\vec{y}_1$ 

Prof Hi

### Borne escamotable

Le dispositif étudié est un système permettant de limiter ou d'interdire la circulation dans des zones à accès réservé. Ce dispositif comporte:

✓ Un caisson intégrant la partie opérative, à savoir une borne motorisée rétractable dans le sol,



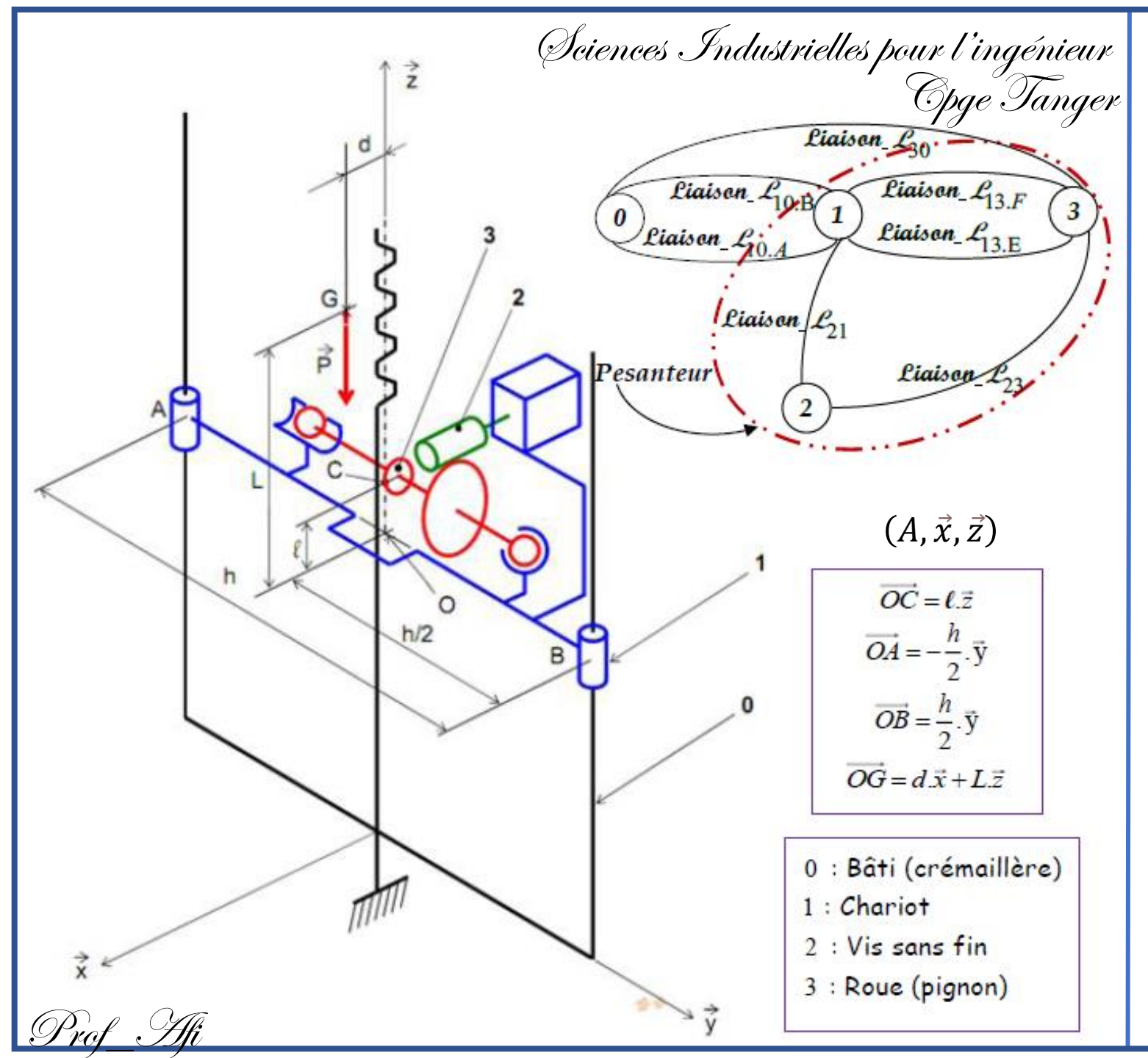
Un caisson intégrant la partie commande comportant :

- Une platine électronique de gestion,
- > une batterie d'alimentation électrique du système,
- des cellules photovoltaïques assurant la charge de la batterie.

Le guidage en translation rectiligne verticale du chariot supportant la borne par rapport au caisson enterré est représenté sur la figure 1. Ce guidage est réalisé par 2 colonnes parallèles en prise avec 2 paliers ouverts liés au chariot supportant la borne.

Afin de limiter les efforts résistants liés aux frottements dans les guidages en translation du chariot, le constructeur a choisi de placer un contrepoids qui permet de positionner le centre de gravité G de la partie mobile liée au chariot à la distance d de la ligne de référence de la crémaillère.

Dans cette partie, on se propose donc d'étudier la position du contrepoids permettant de minimiser les pertes par frottement dans le guidage du chariot 1 et ainsi augmenter l'autonomie du système.



### Hypothèses:

On suppose que les résultantes des actions mécaniques transmissibles par les liaisons en A et B sont situées respectivement dans les plans  $(A, \vec{x}, \vec{z})$  et  $(B, \vec{x}, \vec{z})$ .

Les frottements ne sont pas négligés dans les liaisons pivot glissant en A et B constituant le guidage du chariot par rapport au bâti. On prendra un facteur de frottement  $f=tan(\phi) = 0.22$ . (Ne pas oublier de préciser les relations entre les composantes des résultantes des actions mécaniques en A et en B en se plaçant à la limite du glissement et uniquement pour la montée du chariot).

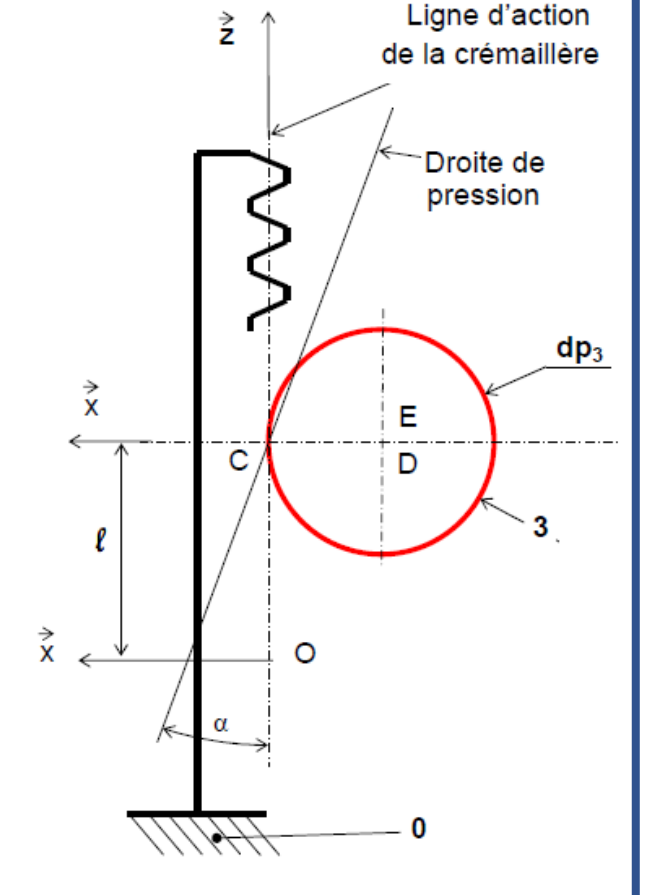
Prof Hi

- □ Le poids du chariot et de tous les éléments embarqués (motoréducteur, borne, etc.) n'est pas négligé. On considère la masse totale : m = 30 kg et l'accélération de la pesanteur : g = 10 m/s². G est le centre de gravité de l'ensemble E.
- ☐ L'action mécanique du contact en C est modélisée par le torseur :

$$\{T(0 \to 3)\} = \{X_{03}.\vec{x} - a.X_{03}.\vec{z}\}_{C}$$

Q1°- A partir de l'isolement de l'ensemble (E=1, 2, 3), effectuer le bilan des actions mécaniques extérieures. Présenter ce bilan à l'aide des torseurs écrits le plus simplement possible et en tenant compte des hypothèses ci-dessus.

- Q2°- En se plaçant à la limite du glissement, appliquer, en O, le principe fondamental de la statique à l'ensemble E en équilibre. En déduire les équations scalaires utiles pour la résolution.
- ☐ On suppose que les résultantes des actions mécaniques transmissibles par les liaisons en A et B présentent une symétrie par rapport au plan
- Q3°- Déterminer la composante du moment dans les liaisons en A et en B uniquement dans le cas de la montée du chariot.
- Q4°- Déterminer d en fonction de l, f et a afin d'annuler les moments transmissibles par les liaisons pivot glissant en A et en B dans le cas de la montée du chariot.



Prof H

### Machine-outil

Description et notation

La figure 1 représente le paramétrage du mécanisme. Les moteurs d'axes sont liés par des glissières au bâti  $R_0$ , d'axe parallèle à  $\overrightarrow{z_0}$ .

Les barres  $b_i$ ,  $i \in [1, ..., 6]$ , sont de même longueur et d'extrémités  $A_i$  et  $B_i$ . Elles sont liées par des rotules tant aux moteurs d'axes mot<sub>j</sub> qu'à la platine porte électro-broche.

Les distances des différents points  $A_i$  à l'axe  $(O_0, \overrightarrow{z_0})$  sont égales entre elles et constantes  $\forall t$ .

Par construction, on a :  $|\overrightarrow{A_1A_2}| = |\overrightarrow{A_3A_4}| = |\overrightarrow{A_5A_6}|$ 

De même, pour toute configuration, on a les égalités:

$$\overrightarrow{A_1 A_2} = \overrightarrow{B_1 B_2}$$
  $\overrightarrow{A_3 A_4} = \overrightarrow{B_3 B_4}$   $\overrightarrow{A_1 A_2} = \overrightarrow{B_1 B_2}$ 

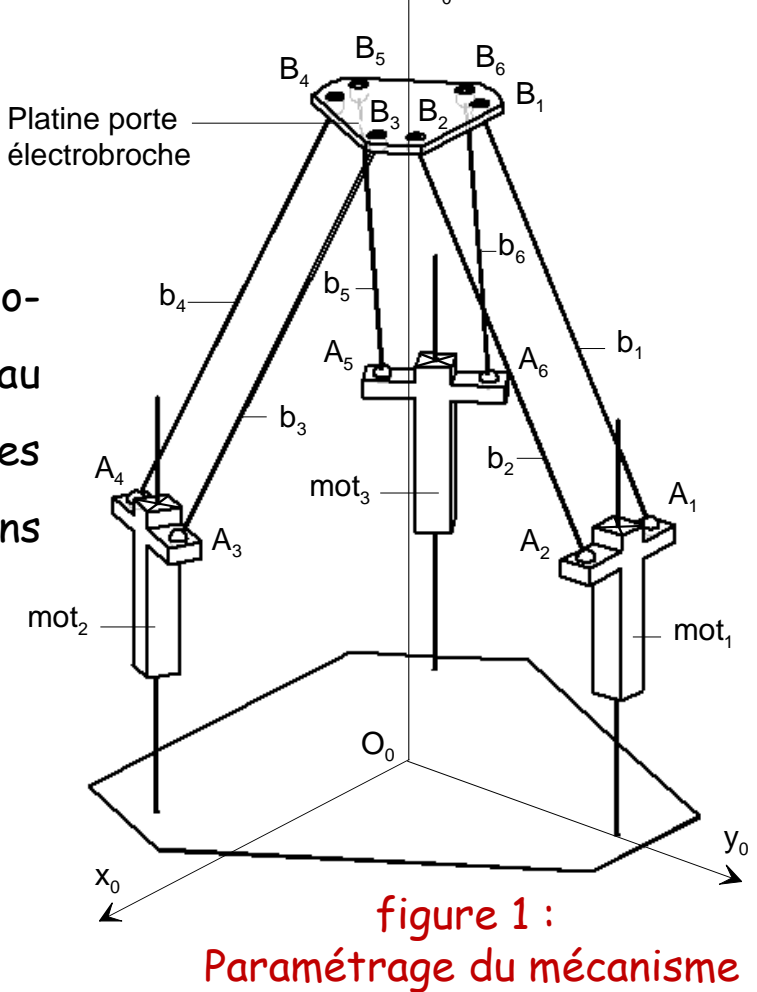
On désigne par  $\overrightarrow{v_i}$  le vecteur  $\frac{A_i \overrightarrow{B_i}}{|\overrightarrow{A_i B_i}|}$ 

 $\frac{\overrightarrow{A_iB_i}}{\overrightarrow{A_iB_i}}$ 

Les déplacements des moteurs  $mot_j$  par rapport à  $R_0$  sont notés  $\xi_j.\overrightarrow{Z_0}$ 

L'axe de rotation de l'électrobroche est perpendiculaire au plan de la platine. Les centres des **rotules**  $B_1,..., B_6$  sont dans le plan de la platine.

Q°-1 En négligeant le poids propre des barres  $A_iB_i$ , quelle remarque peut-on faire concernant leur équilibre?



On raisonne sur le dispositif en position centrée (il y a une symétrie de répartition de position d'angle), les points  $A_1,...$ ,  $A_6$  étant dans un même plan perpendiculaire à  $\overrightarrow{z_0}$ .

On associe à chaque barre  $A_iB_i$  un glisseur  $\{g_i\}$  de coordonnées : (définition de la direction  $\overrightarrow{v_i}$  et la position des points Ai)

$$O_0 \left\{ \overrightarrow{v_i} = a_i.\overrightarrow{x_0} + b_i.\overrightarrow{y_0} + c_i.\overrightarrow{z_0} \\ \overrightarrow{O_0 A_i} \wedge \overrightarrow{v_i} = l_i.\overrightarrow{x_0} + m_i.\overrightarrow{y_0} + n_i.\overrightarrow{z_0} \right\}$$

L'outil exerce sur la platine un torseur de forces extérieures de coordonnées :  $\{F_{ex}\}$ 

$$O_0 \left\{ \begin{matrix} X \cdot \overrightarrow{x_0} + Y \cdot \overrightarrow{y_0} + Z \cdot \overrightarrow{z_0} \\ L \cdot \overrightarrow{x_0} + M \cdot \overrightarrow{y_0} + N \cdot \overrightarrow{z_0} \end{matrix} \right\}$$

On désigne par  $B_i \left\{ \begin{matrix} N_i.\overrightarrow{\nu_i} \\ \overrightarrow{0} \end{matrix} \right\}$  les coordonnées de l'action de la barre

A<sub>i</sub>B<sub>i</sub> sur la platine porte électro-broche.

Q°-2 Ecrire les conséquences scalaires de l'équilibre de la platine au point  $O_0$ .

Q°-3 Quelle condition doivent vérifier les grandeurs  $a_i$ ,  $b_i$ ,  $c_i$ ,  $l_i$ ,  $m_i$ ,  $n_i$  pour que les  $N_i$  soient déterminables ?

### Roboclimber

Roboclimber est un robot géotechnique utilisé pour la consolidation des talus de sols naturels ou des escarpements rocheux au dessus des routes ou des zones habitées.

une unité autonome de forage et de pose des pieux. Il utilise pour se mouvoir et assurer son équilibre lors du forage 4 pieds indépendants, ainsi que deux câbles de traction fixés en hauteur.

Prof Hi



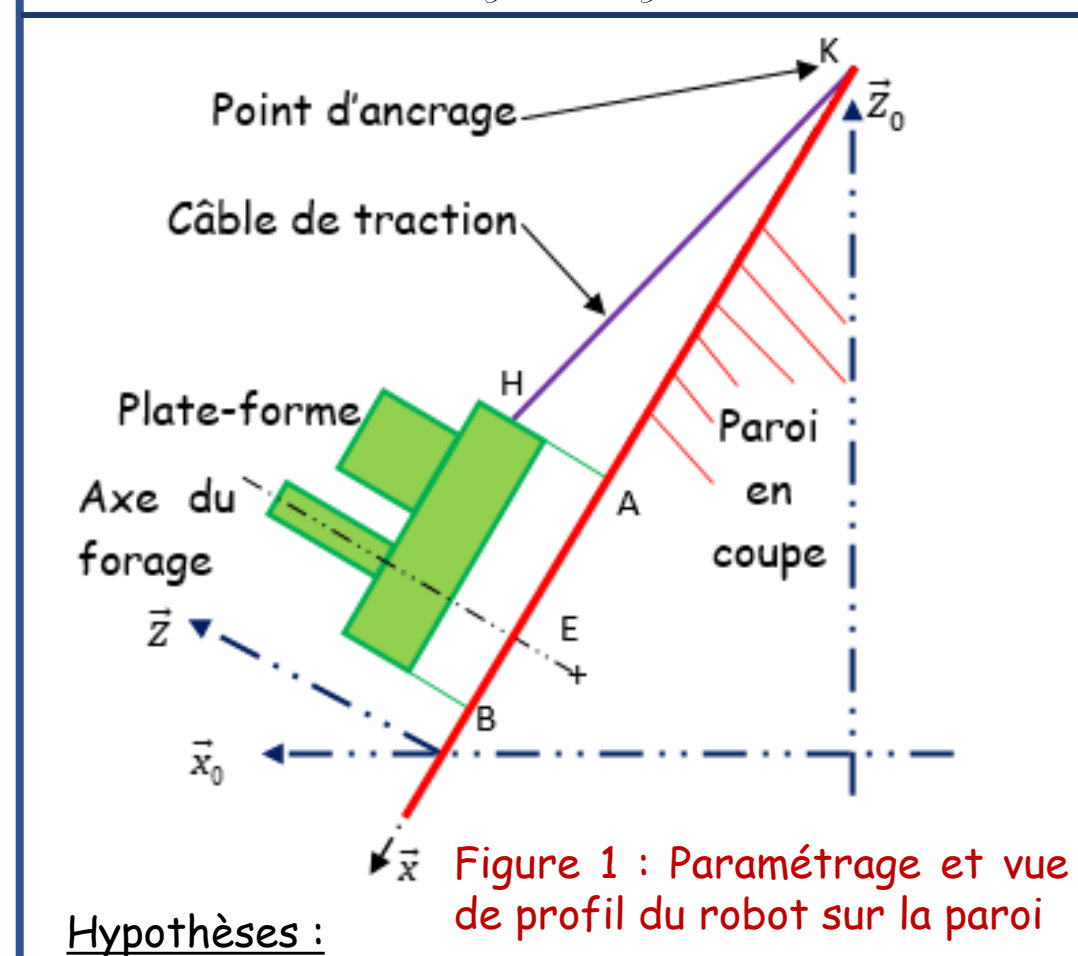
Le forage proprement dit consiste à enfoncer dans le sol ou la roche une succession de tubes en acier, vissés les uns aux autres, qui constituent le train de forage. Le premier tube utilisé se retrouve en tête de train et possède une tête perforante.

L'enfoncement de l'ensemble du train est obtenu par l'action conjuguée d'un effort de poussée suivant l'axe de forage et d'un couple qui met en rotation le train de tubes. Les critères géotechniques retenus pour obtenir une plage d'utilisation optimale sont précisée dans l'extrait du cahier des charges cidessous:

Fonction	Critères	Niveaux	
Enfoncer les	Force de	Pour une pente de 45° : F>10000 N	
tubes de poussée	poussée	Pour une pente de 80° : F>3000 N	
forage dans	maxi	Tour the pente de 60 17500014	
la paroi			

Problématique : Une des difficultés liées à l'utilisation d'une plateforme mobile pour réaliser le forage réside dans l'application de l'effort de poussée qui doit être obtenu sans mettre en péril l'équilibre de la plateforme. On souhaite vérifier que le robot pourra bien fournir l'effort de poussée préconisé dans le cahier des charges.

On suppose le robot en équilibre dans la position de la figure 1 (vue de profil du robot sur la paroi).



- $\checkmark$  Le problème est supposé plan, dans le plan de la figure  $1:(G,\vec{x}_0,\vec{z}_0)$
- ✓ La pente de la paroi est définie par l'angle  $\alpha = (\vec{x}_0, \vec{x}) = (\vec{z}_0, \vec{z})$

- ✓ Les quatre contacts pied / paroi sont réduits à deux contacts ponctuels en A et B, on a  $\overrightarrow{AB} = d.\vec{x}$  et  $\overrightarrow{BH} = -d.\vec{x} + h.\vec{z}$ .
- ✓ Les deux câbles sont assimilés à un seul, fixé en H au robot et en K à la paroi :  $\overrightarrow{KH} = e.\overrightarrow{x} + h.\overrightarrow{z}$  ou « e », distance du robot au point d'ancrage le long de la paroi, sera prise à sa valeur minimale autorisée e=2.d.
- V Le poids de la plateforme et des tubes est modélisé par le glisseur :  $\left\{\begin{matrix} -P.\,\vec{z}_0 \\ \vec{0} \end{matrix}\right\}_G$  avec P=28000(N) et G tel que  $\overrightarrow{BG}=-\frac{d}{2}.\,\vec{x}+h.\,\vec{z}$
- ✓ Les contacts pied / paroi sont sans frottement.
- ✓ L'effort de poussée de la foreuse impose sur le train de tubes une réaction du sol modélisée par un glisseur en  $\mathsf{E}:\left\{\begin{matrix}F.\vec{z}\\\vec{0}\end{matrix}\right\}_E$ . Le point  $\mathsf{E}$  est défini par  $\overline{BE}=-\frac{d}{3}.\vec{x}-p.\vec{z}$ .

Question: En considérant l'équilibre statique de l'ensemble {plateforme + tubes}, écrire l'équation des moments au point H. en déduire la condition littérale sur F pour qu'il n'y ait pas

### Borne escamotable

Q1°- On isole l'ensemble E

Liaisons pivots glissantes entre 0 et 1: 
$$\left\{ T \left( 0 \overset{LA}{\to} 1 \right) \right\} = \left\{ \begin{matrix} X_A & L_A \\ Y_A & M_A \\ 0 & 0 \end{matrix} \right\}_{A,\vec{x},\vec{y},\vec{z}}$$

$$\left\{T\left(0 \stackrel{LB}{\rightarrow} 1\right)\right\} = \left\{\begin{matrix} X_B & L_B \\ Y_B & M_B \\ 0 & 0 \end{matrix}\right\}_{B,\vec{x},\vec{y},\vec{z}}$$

On suppose que les résultantes des actions mécaniques transmissibles par les liaisons en A et B sont situées respectivement dans les plans

$$(A,\vec{x},\vec{z}) \text{ et } (B,\vec{x},\vec{z}).$$

$$\left\{T\left(0 \overset{LA}{\to} 1\right)\right\} = \begin{cases} X_A & 0 \\ 0 & M_A \\ 0 & 0 \end{cases}$$

$$\left\{T\left(0 \overset{LB}{\to} 1\right)\right\} = \begin{cases} X_B & 0 \\ 0 & M_B \\ 0 & 0 \end{cases}$$

$$\left\{T\left(0 \overset{LB}{\to} 1\right)\right\} = \begin{cases} X_B & 0 \\ 0 & M_B \\ 0 & 0 \end{cases}$$

$$\left\{T\left(0 \overset{LB}{\to} 1\right)\right\} = \begin{cases} X_B & 0 \\ 0 & M_B \\ 0 & 0 \end{cases}$$

Les frottements ne sont pas négligés dans les liaisons pivot glissant en A et B

Le mouvement du chariot est une translation rectiligne verticale dans le sens de la montée.

- $\{T \ pes \to E\} = \begin{cases} 0 & 0 \\ 0 & 0 \\ -m. g & 0 \end{cases}$ ☐ Action de la pesanteur :
  - $\{T(0 \to 3)\} = \{X_{03}.\vec{x} a.X_{03}.\vec{z}\}$ ☐ Action de la crémaillère sur le pignon de 3 :

On isole l'ensemble E Q2°- $\{T(\bar{E} \to E)\} = \{0\}$ On applique le P.F.S. au point O:

$$\left\{T\left(0\stackrel{L_A}{\to}1\right)\right\} + \left\{T\left(0\stackrel{L_B}{\to}1\right)\right\} + \left\{T\left(0\to3\right)\right\} + \left\{T\left(pes\to E\right)\right\} = \{0\}$$

$$\vec{M}\left(O, 0 \overset{LA}{\to} 1\right) = \vec{M}\left(A, 0 \overset{LA}{\to} 1\right) + \overrightarrow{OA} \wedge \vec{R}\left(0 \overset{LA}{\to} 1\right)$$
$$= \vec{M}\left(A, 0 \overset{LA}{\to} 1\right) + \left(-\frac{h}{2} \cdot \vec{y}\right) \wedge (X_A \cdot \vec{x} + T_A \cdot \vec{z})$$

$$= -\frac{h}{2}.T_{A}.\vec{x} + M_{A}.\vec{y} + \frac{h}{2}.X_{A}.\vec{z}$$

$$\left\{T\left(0\stackrel{L_A}{\to}1\right)\right\} = \begin{cases} X_A & -\frac{h}{2}.T_A \\ 0 & M_A \\ T_A & \frac{h}{2}.X_A \end{cases}_{0,\vec{x},\vec{y},\vec{z}}$$

$$\overrightarrow{M}\left(O,0\overset{LB}{\rightarrow}1\right) = \overrightarrow{M}\left(B,0\overset{LB}{\rightarrow}1\right) + \overrightarrow{OB} \wedge \overrightarrow{R}\left(0\overset{LB}{\rightarrow}1\right)$$

$$\left\{T\left(0\stackrel{L_B}{\to}1\right)\right\} = \begin{cases}
X_B & +\frac{h}{2}.T_B \\
0 & M_B \\
T_B & -\frac{h}{2}.X_B
\end{cases}_{0,\vec{x},\vec{y},\vec{z}}$$
Prof. Hi

$$\overrightarrow{M}(0)$$

$$\overrightarrow{M}(0,0\to3) = \overrightarrow{M}(C,0\to3) + \overrightarrow{OC} \wedge \overrightarrow{R}(0\to3)$$

$$= \vec{0} + l.\vec{z} \wedge (X_{03}.\vec{x} - a.X_{03}.\vec{z}) = l.X_{03}.\vec{y}$$

$$\left\{T\left(0\stackrel{L_{A}}{\rightarrow}1\right)\right\} = \left\{\begin{matrix} X_{03} & 0\\ 0 & l.X_{03}\\ -a.X_{03} & 0 \end{matrix}\right\}_{0,\vec{x},\vec{y},\vec{z}}$$

$$\overrightarrow{M}(O, pes \rightarrow E) = \overrightarrow{M}(G, pes \rightarrow E) + \overrightarrow{OG} \wedge \overrightarrow{R}(pes \rightarrow E)$$

$$\begin{cases}
T\left(0 \stackrel{L_A}{\to} 1\right) = \begin{cases}
0 & 0 \\
0 & d.m.g \\
-m.g & 0
\end{cases}$$

$$X_B + X_A + X_{03} = 0$$

$$0 = 0$$

$$T_B + T_A - a. X_{03} - m.g = 0$$

$$M_B = M_A = M_{01}$$

$$2 M_A = (l. Y_A + d.m.g)$$

$$\frac{h}{2} \cdot T_B - \frac{h}{2} \cdot T_A = 0$$

$$M_B + M_A + l \cdot X_{03} + d \cdot m \cdot g = 0$$

$$2 \cdot M_{01} = -(l \cdot X_{03} + d \cdot m \cdot g)$$

$$X_{03} = -(X_B + X_A)$$

$$T_B + T_A = -f \cdot (X_B + X_A)$$

$$T_B + T_A = -f.(X_B + X_A)$$
  
=  $f.X_{03} = -a.X_{03} - m.g$ 

Q4°-
2. 
$$M_{01} = 0$$
  $d = \frac{l}{f+a}$ 

 $\frac{h}{2}.X_A - \frac{h}{2}.X_B = 0$ 

$$2. M_{01} = \left(d - \frac{l}{f+a}\right). m. g$$

Q°-1 Equilibre de la barre bi : Platine B.A.M.E 
$$\{T(Platine \rightarrow b_i)\}$$

$$\{T(Platine \to b_i)\} \\
 = \begin{cases} \vec{R}(Platine \to b_i) \\ \vec{0} \end{cases}_{B_i}$$

$$\vec{R}(Motj \rightarrow b_i)$$
 Mot

Directions:

$$\left\{ T(Motj \to b_i) \right\} \\
 = \left\{ \vec{R}(Motj \to b_i) \right\}_{A_i}$$

Liaison

 $B_i$  rotule

$$\Delta \vec{R}(Platine \rightarrow b_i) = \Delta \vec{R}(Motj \rightarrow b_i)$$

La barre bi est en équilibre sous l'action de deux glisseurs. Ces deux glisseurs ont :

- ✓ La même direction (droite  $A_iB_i$ )
- ✓ La même norme
- ✓ Des sens contraires.

Le P.FS. en Oo s'écrit : 
$$\{T(\overline{Platine} \rightarrow Platine)\} = \{0\}$$

$$\{T(Ext \to Platine)\} = \left\{ \vec{R}(Ext \to Platine) \atop \vec{M}_{O_0}(Ext \to Platine) \right\}_{O_0}$$

$$= \begin{cases} X.\vec{x}_0 + Y.\vec{y}_0 + Z.\vec{z}_0 \\ L.\vec{x}_0 + M.\vec{y}_0 + N.\vec{z}_0 \end{cases}_0$$

$$\{T(b_i \to Platine)\} = \begin{Bmatrix} N_i \cdot \vec{v}_i \\ \vec{0} \end{Bmatrix}_{A_i}$$

### Barre bi

platine

$$\{T(b_i \to Platine)\} = \left\{\frac{N_i.\vec{v}_i}{O_0A_i \land N_i.\vec{v}_i}\right\}_{O_0} = N_i.\{g_i\}$$

$$\{T(Ext \to Platine)\} + \sum_{i=1}^{3} \{T(b_i \to Platine)\} = \{0\}$$

$$\overrightarrow{M}_{O_0}(b_i \to Platine) = \overrightarrow{M}_{A_i}(b_i \to Platine) + \overrightarrow{R}(b_i \to Platine) \wedge \overrightarrow{O_i A_i}$$

$$\{g_i\} = \left\{ \frac{\vec{v}_i}{O_0 A_i} \wedge \vec{v}_i \right\}_{O_0} = \left\{ \begin{aligned} a_i . \vec{x}_0 + b_i . \vec{y}_0 + c_i . \vec{z}_0 \\ l_i . \vec{x}_0 + m_i . \vec{y}_0 + n_i . \vec{z}_0 \end{aligned} \right\}_{O_0}$$

 $a_i, b_i, c_i, l_i, m_i$  et  $n_i$ 

dépendent des données géométriques (connues)

$$\{T(Ext \to Platine)\} = \begin{cases} X.\vec{x}_0 + Y.\vec{y}_0 + Z.\vec{z}_0 \\ L.\vec{x}_0 + M.\vec{y}_0 + N.\vec{z}_0 \end{cases}_{O_0}$$

Actions mécaniques extérieures connues

Le T.RS.:

$$\vec{R}(Ext \rightarrow Platine) + \sum_{i=1}^{6} N_i \cdot \vec{v}_i = \vec{0}$$

Le T.MS. en  $O_0$ :

$$\overrightarrow{M}_{O_0}(b_i \to Platine) + \sum_{i=1}^{6} N_i \cdot \left( \overrightarrow{O_0 A_i} \wedge \overrightarrow{v}_i \right) = \overrightarrow{0}$$

$$Prof \quad \mathscr{H}_i$$

$$X + \sum_{i=1}^{6} a_i \cdot N_i = 0$$

$$Y + \sum_{i=1}^{6} b_i \cdot N_i = 0$$

$$Z + \sum_{i=1}^{6} c_i \cdot N_i = 0$$
Un système de six équations statiques
$$Y + \sum_{i=1}^{6} b_i \cdot N_i = 0$$
Pour six Inconnues
Statiques  $(N_i)$ 

$$Z + \sum_{i=1}^{6} c_i \cdot N_i = 0$$
La résolution est possible si les six équations sont indépendantes
$$X + \sum_{i=1}^{6} l_i \cdot N_i = 0$$

$$X + \sum_{i=1}^{6} l_i \cdot N_i = 0$$

 $\Rightarrow$  Si le déterminant de la matrice (6x6) des  $a_i, b_i, c_i, l_i, m_i$  et  $n_i$  est différent de 0.

## Roboclimber

L'ensemble  $\Sigma$  {plate forme étant supposé en équilibre dans le référentiel terrestre galiléen, le bilan des actions mécaniques étant fourni dans l'énoncé, on projette l'équation du moment statique appliqué à au point H sur la direction  $\vec{y}_0$ .

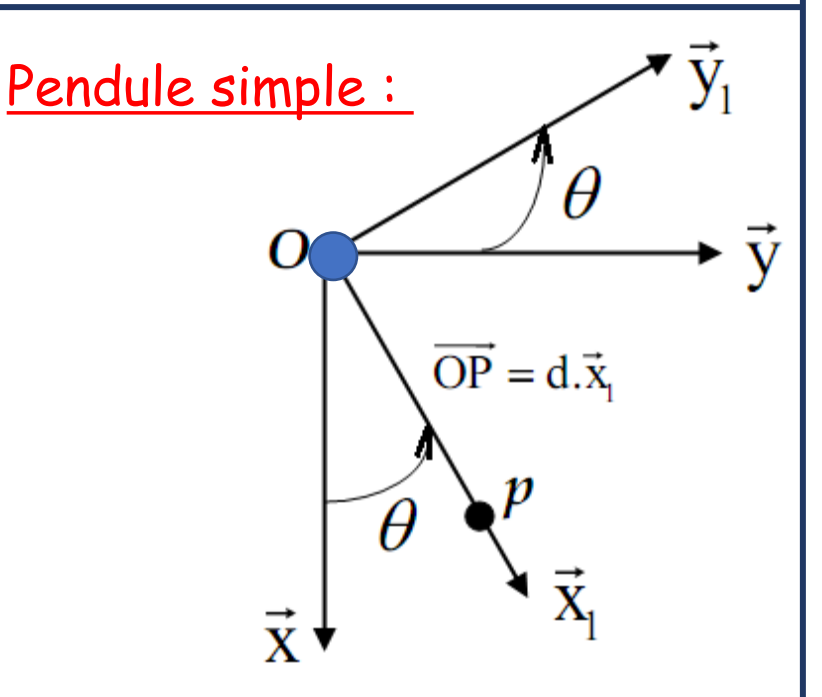
$$\left(\overrightarrow{HG} \wedge -P \cdot \vec{z}_0 + \overrightarrow{HA} \wedge N_A \cdot \vec{z} + \overrightarrow{HB} \wedge N_B \cdot \vec{z} + \overrightarrow{HE} \wedge F \cdot \vec{z}\right). \vec{y}_0 = 0$$

Condition de non décollement en B  $N_B > 0$   $\frac{d}{2} \cdot P \cdot \cos \alpha - d \cdot N_B - \frac{2 \cdot d}{3} \cdot F = 0$ 

$$F < \frac{3}{4} \cdot P \cdot \cos \alpha$$

# Cinétique

- ☐ Mécanique 3 Mécanique du solide indéformable Cinétique Dynamique Edition ellipse
- ☐ Mécanique du solide Applications industrielles Edition Dunod



On cherche à déterminer l'équation différentielle de mouvement:

### Quantité de mouvement :

 $m.\vec{V}(P/R)$ 

### Moment cinétique en O:

$$\vec{L}_O(P/R) = \overrightarrow{OP} \wedge m. \vec{V}(P/R)$$

Théorème de la résultante cinétique :  $\Sigma(\vec{F}_{EXT}) = m. \vec{a}(P/R)$ 

Théorème du moment cinétique en  $O: \Sigma M_O(\vec{F}_{EXT}) = \left(\frac{d}{dt}\vec{L}_O(P/R)\right)_R$ 

$$\vec{V}(P/R) = \frac{d}{dt} \overrightarrow{OP}|_{R} = d. \dot{\theta}. \vec{y}_{1} \qquad \qquad \vec{L}_{O}(P/R) = m. d^{2}. \dot{\theta}. \vec{z}$$

$$\vec{M}_O(\vec{T}) = \overrightarrow{OP} \wedge \vec{T} = \vec{0}$$
  $\vec{M}_O(\vec{P}_d) = \overrightarrow{OP} \wedge m. g. \vec{x} = -m. d. g. Sin\theta. \vec{z}$ 

Equation de mouvement :  $-m. d. g. Sin\theta = m. d^2. \ddot{\theta}$ 

L'équation peut s'écrire sous la forme :  $C = J_A$ .  $\ddot{\theta}$ 

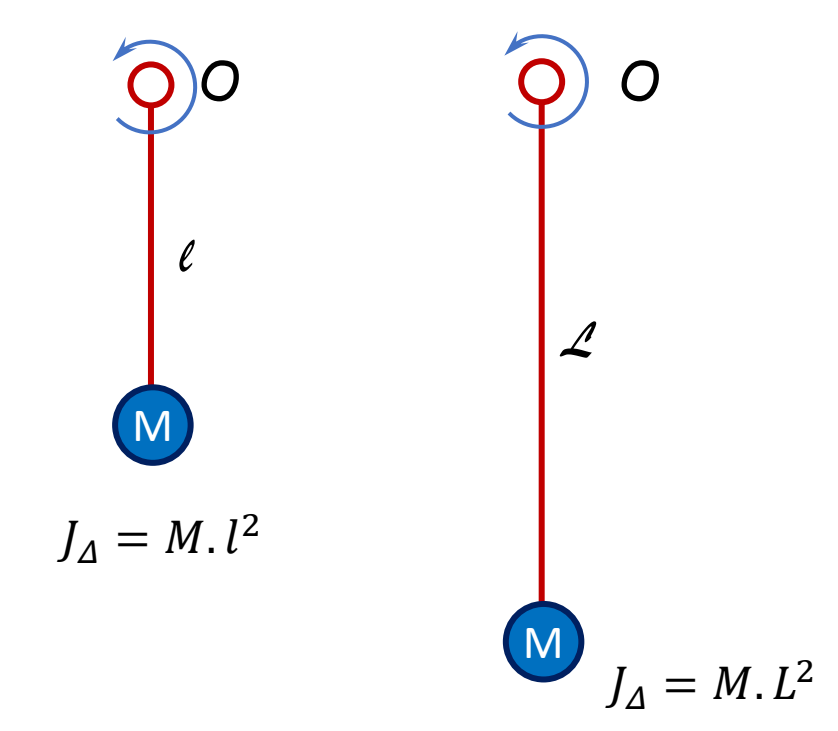
Le  $J_{\Delta}$  défini le moment d'inertie du point M par rapport à l'axe  $0, \vec{z}$   $J_{\Delta} = J_{0, \vec{z}} = m. d^2$ 

Moment d'inertie d'une masse ponctuelle:

Par définition le moment d'inertie  $J_{\Delta}$ , par rapport à un axe( $\Delta$ ), d'un point matériel de masse m située à une distance d de ( $\Delta$ ) est :  $J_{\Delta} = m. d^2$ 

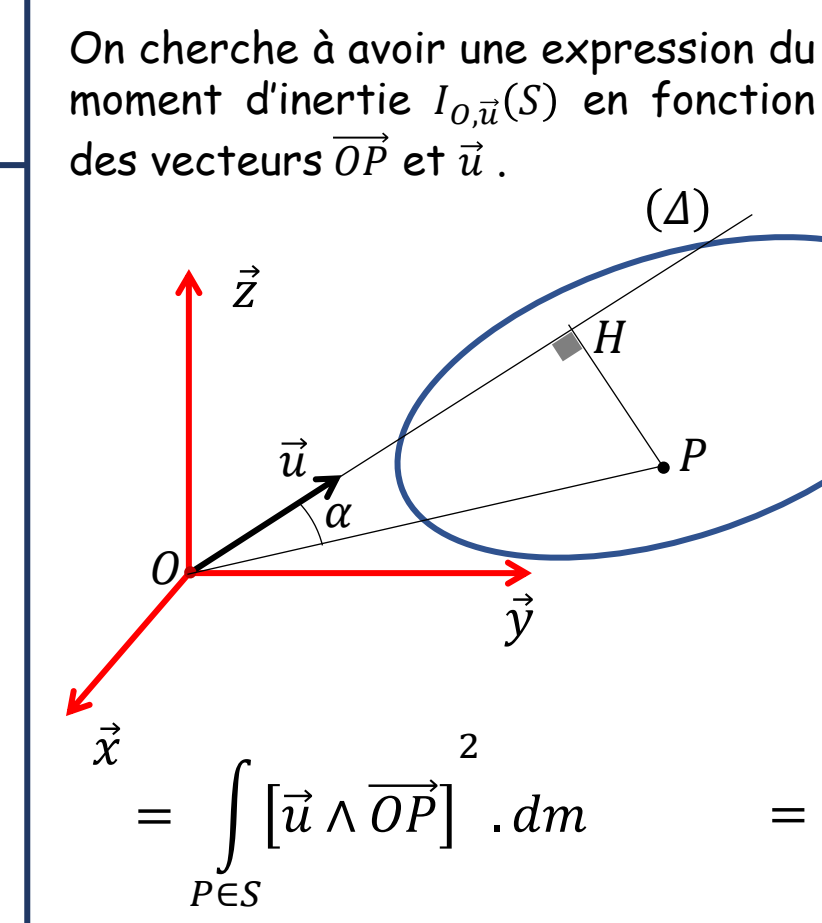
Prof Hi

Le moment d'inertie quantifie la résistance d'un corps soumis à une mise en rotation.



Dans le cas d'un corps solide constitué d'une infinité de points matériels :

$$J_{\Delta} = I_{O,\vec{u}}(S) = \int d^2. dm$$



 $\vec{y} = \int_{P \in S} [\|\overrightarrow{OP}\|.\|\overrightarrow{u}\|.Sin\alpha] \cdot dm$   $= \int_{P \in S} [\overrightarrow{u} \wedge \overrightarrow{OP}]^2 \cdot dm = \int_{P \in S} [\overrightarrow{u} \wedge \overrightarrow{OP}] \cdot [\overrightarrow{u} \wedge \overrightarrow{OP}] \cdot dm$   $= \int_{P \in S} [\overrightarrow{u} \wedge \overrightarrow{OP}] \cdot (\overrightarrow{u} \wedge \overrightarrow{OP}) \cdot dm \quad J_{\Delta}(S) = \overrightarrow{u}. \int_{\Delta} [\overrightarrow{OP} \wedge (\overrightarrow{u} \wedge \overrightarrow{OP})] \cdot dm$ 

On défini l'opérateur d'inertie d'un solide :

$$\vec{J}_O(S, \vec{u}) = \int_{P \in S} \left( \overrightarrow{OP} \wedge \left( \vec{u} \wedge \overrightarrow{OP} \right) \right) . dm$$

 $\underline{S} \quad J_{\Delta}(S) = \int \left[ \overrightarrow{PH} \right] \cdot dm$ 

 $\int [\|\overrightarrow{OP}\|.Sin\alpha] .dm$ 

L'expression du moment d'inertie par rapport à un axe quelconque devient :

$$I_{O,\vec{u}}(S) = \vec{u}.\vec{J}_O(S,\vec{u})$$

On considère un repère  $R(0, \vec{x}, \vec{y}, \vec{z})$  associé au solide S. La position de tout point P du solide S est donné par le vecteur

$$\overrightarrow{OP} = x.\vec{x} + y.\vec{y} + z.\vec{z}$$

On cherche à appliquer l'opérateur d'inertie au axes du repère R.

$$I_{O,\vec{x}}(S) = \vec{x}.\vec{J}_{O}(S,\vec{x})$$

$$= \vec{x}.\int_{P \in S} \left( \overrightarrow{OP} \wedge (\vec{x} \wedge \overrightarrow{OP}) \right).dm$$

$$\vec{J}_{O}(S,\vec{x}) = \int_{P \in S} \left( \overrightarrow{OP} \wedge (\vec{x} \wedge \overrightarrow{OP}) \right).dm$$

$$= \int_{P \in S} \left( (\overrightarrow{OP})^{2}.\vec{x} - (\overrightarrow{OP}.\vec{x}).\overrightarrow{OP} \right).dm$$

$$= \int_{P \in S} \left( (x^2 + y^2 + z^2) \cdot \vec{x} - x \cdot \overrightarrow{OP} \right) \cdot dm$$

$$= \int_{P \in S} ((x^2 + y^2 + z^2) \cdot \vec{x} - x^2 \cdot \vec{x} - x \cdot y \cdot \vec{y} - x \cdot z \cdot \vec{z}) \cdot dm$$

$$= \int_{P \in S} ((y^2 + z^2) \cdot \vec{x} - x \cdot y \cdot \vec{y} - x \cdot z \cdot \vec{z}) \cdot dm$$

$$\vec{J}_{O}(S, \vec{x}) = \begin{pmatrix} \int_{S} (y^2 + z^2) \cdot dm \\ -\int_{S} x \cdot y \cdot dm \\ -\int_{S} z \cdot x \cdot dm \end{pmatrix}_{\vec{x}, \vec{y}, \vec{z}}$$

En reprenant les mêmes étapes on peut déduire  $\vec{J}_O(S, \vec{y})$  et  $\vec{J}_O(S, \vec{z})$ . On trouve :

$$\vec{J}_{O}(S, \vec{x}) = \begin{pmatrix} \int_{S} (y^{2} + z^{2}) \cdot dm \\ -\int_{S} x \cdot y \cdot dm \\ -\int_{S} z \cdot x \cdot dm \end{pmatrix}_{\vec{x}, \vec{y}, \vec{z}} \qquad \vec{J}_{O}(S, \vec{y}) = \begin{pmatrix} -\int_{S} x \cdot y \cdot dm \\ \int_{S} (x^{2} + z^{2}) \cdot dm \\ -\int_{S} y \cdot z \cdot dm \end{pmatrix}_{\vec{x}, \vec{y}, \vec{z}} \vec{J}_{O}(S, \vec{z}) = \begin{pmatrix} -\int_{S} x \cdot z \cdot dm \\ -\int_{S} y \cdot z \cdot dm \\ \int_{S} (x^{2} + y^{2}) \cdot dm \end{pmatrix}_{\vec{x}, \vec{y}, \vec{z}}$$

L'opérateur d'inertie étant linéaire, il est représentable par une matrice, appelée matrice d'inertie du solide (S), au point O, dans une base donnée, notée  $I_O(S)$  (ou  $\bar{\bar{I}}_O(S)$ )

$$\frac{1}{S}(y^2 + z^2) \cdot dm - \int_S x \cdot y \cdot dm - \int_S x \cdot z \cdot dm$$

$$\frac{1}{S}(S, \vec{u}) = \begin{pmatrix} \int_S (y^2 + z^2) \cdot dm & -\int_S y \cdot z \cdot dm \\ -\int_S x \cdot y \cdot dm & \int_S (x^2 + z^2) \cdot dm & -\int_S y \cdot z \cdot dm \\ -\int_S z \cdot x \cdot dm & -\int_S y \cdot z \cdot dm & \int_S (x^2 + y^2) \cdot dm \end{pmatrix}_{\vec{x}, \vec{y}, \vec{z}} \cdot \vec{u}$$
where

Sciences Industrielles pour l'ingénieur Opge Tanger

# Cinétique

### Opérateur d'inertie d'un solide :

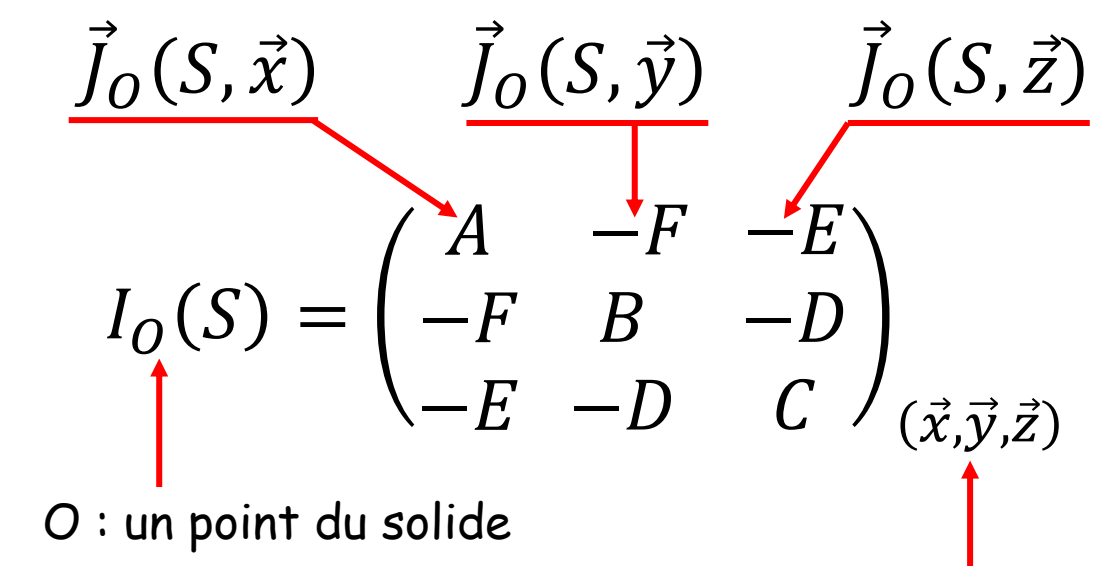
$$\vec{J}_O(S, \vec{u}) = \int_{P \in S} \left( \overrightarrow{OP} \wedge \left( \vec{u} \wedge \overrightarrow{OP} \right) \right) . dm$$

L'opérateur d'inertie étant linéaire, il est représentable par une matrice, appelée matrice d'inertie du solide (S), au point O, dans une base donnée, notée  $I_O(S)$  (ou  $\bar{I}_O(S)$ )

On aura donc :  $\vec{J}_O(S, \vec{u}) = I_O(S) \cdot \vec{u}$ 

### <u>Matrice d'inertie</u>:

La matrice d'inertie caractérise la répartition de la masse d'un solide (S) par rapport aux AXES et aux PLANS d'un repère lié au solide.



Une base liée au solide

La matrice d'inertie du solide (S) caractérise :

☐ La répartition de la masse du solide (S) par rapport aux AXES d'un repère lié au solide.



Les moments d'inertie A, B et C

☐ La répartition de la masse du solide (S) par rapport aux PLANS d'un repère lié au solide.



Les produits d'inertie D, E et F

### Les moments d'inertie:

$$\overrightarrow{OP} = x.\vec{x} + y.\vec{y} + z.\vec{z}$$

$$A = I_{Ox}(S) = \int_{S} (y^2 + z^2) . dm$$

$$B = I_{Oy}(S) = \int_{S} (x^2 + z^2) . dm$$

$$C = I_{OZ}(S) = \int_{S} (x^2 + y^2) . dm$$

### Les produits d'inertie :

$$D = I_{Oyz} = \int_{S} y.z.dm$$

$$E = I_{Ozx} = \int z.x.dm$$

$$F = I_{Oxy} = \int_{S} x. y. dm$$
Prof Mi

### Influence des symétries matérielles :

→ Symétrie géométrique & Symétrie de répartition de masse

On suppose qu' un solide (S) admet un seul plan de symétrie matérielle.

Plan de symétrie :  $(0, \vec{x}, \vec{y})$ 

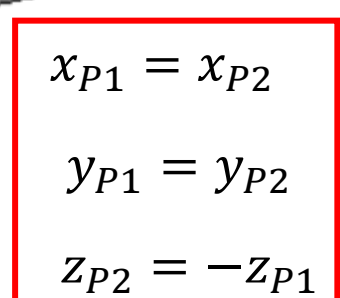
$$D = \int_{P \in S} y.z.dm$$

$$= \int_{P_1 \in S_1} y_{P1} \cdot z_{P1} \cdot dm + \int_{P_2 \in S_2} y_{P2} \cdot z_{P2} \cdot dm$$

$$D = \int y_{P1}.z_{P1}.dm + \int y_{P1}.(-z_{P1}).dm = 0$$

$$E = \int_{-\infty}^{\infty} x \cdot z \cdot dm = 0$$

$$I_O(S) = \begin{pmatrix} A & -F & 0 \\ -F & B & 0 \\ 0 & 0 & C \end{pmatrix}_{(\vec{x}, \vec{y}, \vec{z})}$$



Les produits d'inertie qui font apparaître dans leur expression, la coordonnée correspondant à la normale au plan de symétrie sont nuls.

L'axe perpendiculaire au plan de symétrie est un axe principal d'inertie.

### Plan de symétrie :

 $(0, \vec{x}, \vec{y})$ 

$$I_{O}(S) = \begin{pmatrix} A & -F & 0 \\ -F & B & 0 \\ 0 & 0 & C \end{pmatrix}_{(\vec{x}, \vec{y}, \vec{z})}$$

### Plan de symétrie :

 $(0, \vec{x}, \vec{z})$ 

$$I_O(S) = \begin{pmatrix} A & 0 - E \\ 0 & B & 0 \\ -E & 0 & C \end{pmatrix}_{(\vec{x}, \vec{y}, \vec{z})}$$

### Plan de symétrie :

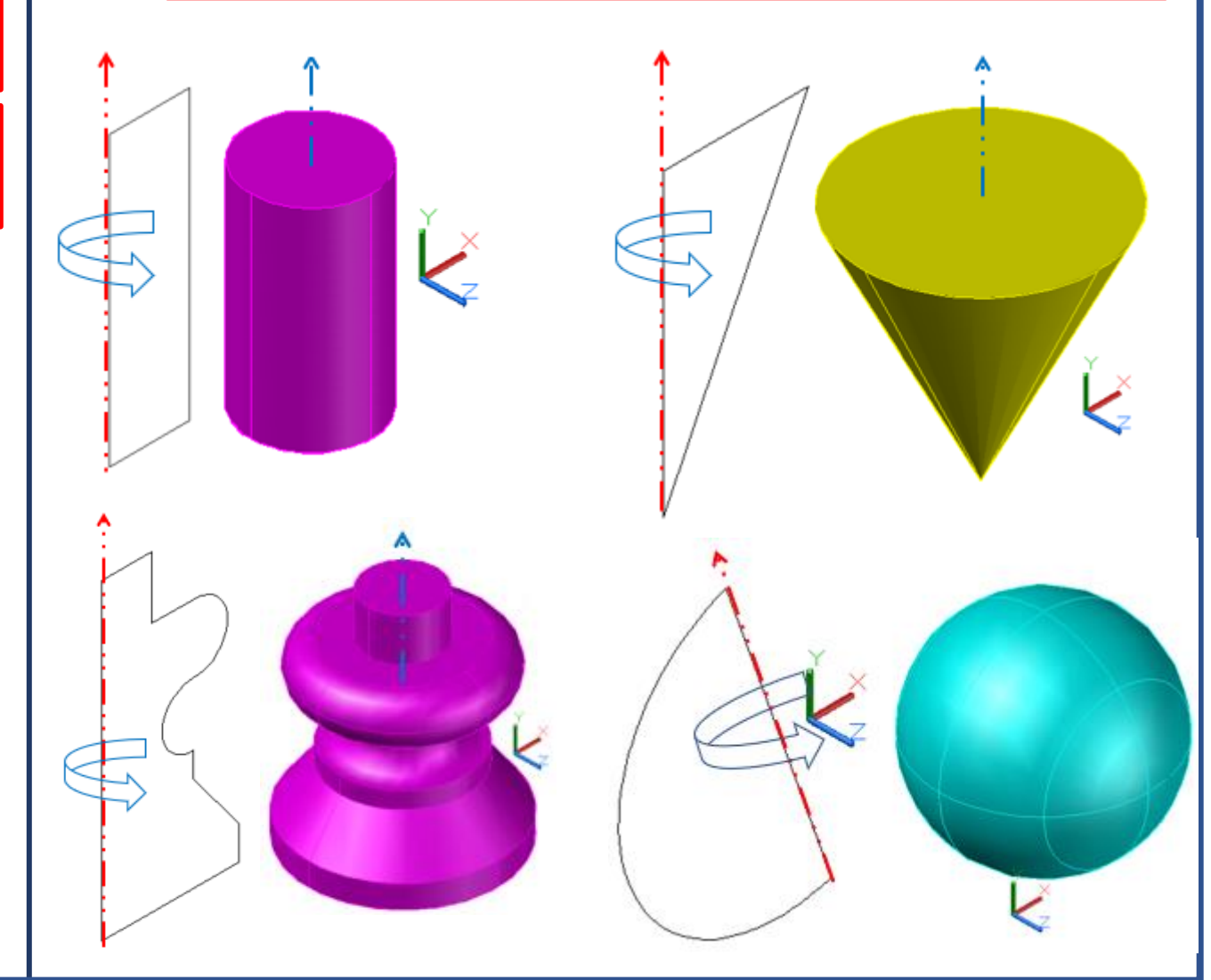
 $(0, \vec{y}, \vec{z})$ 

$$I_{O}(S) = \begin{pmatrix} A & 0 & 0 \\ 0 & B - D \\ 0 - D & C \end{pmatrix}_{(\vec{x}, \vec{y}, \vec{z})}$$

Si on suppose que deux plans du repère  $R(0, \vec{x}, \vec{y}, \vec{z})$  sont des plans de symétrie matérielle alors la matrice est diagonale.

### Symétrie de révolution :

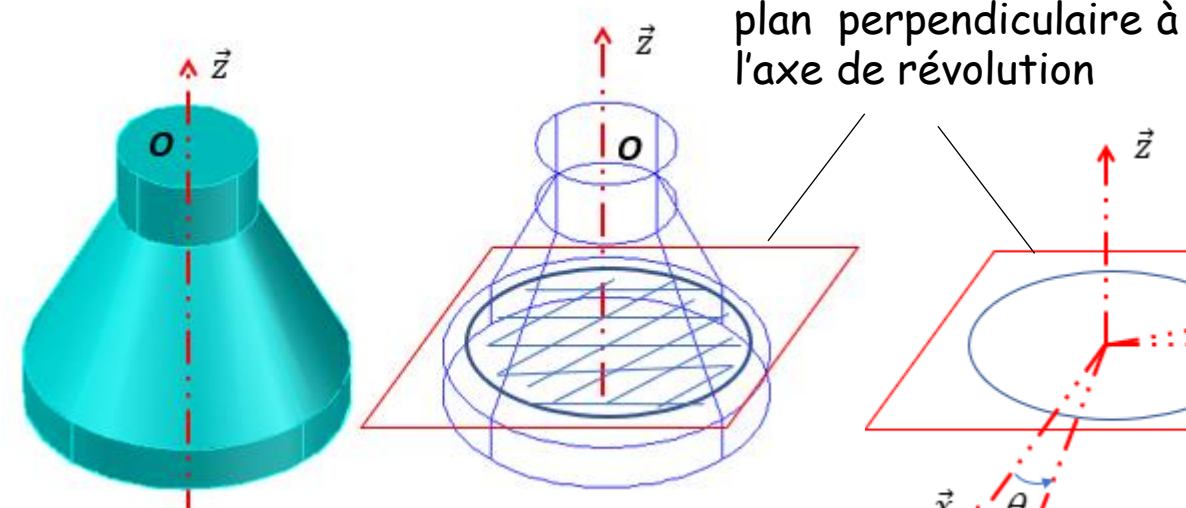
Solide de révolution : Volume engendré par rotation d'une surface plane autour d'un axe dit de révolution.





### Symétrie de révolution :

L'intersection d'un solide de révolution avec un plan perpendiculaire à l'axe de révolution : DISQUE d'épaisseur négligeable.



$$\int_{S} (x^{2} + z^{2}) \cdot dm = \int_{S} (y^{2} + z^{2}) \cdot dm$$

On montre que : (voir page 10)

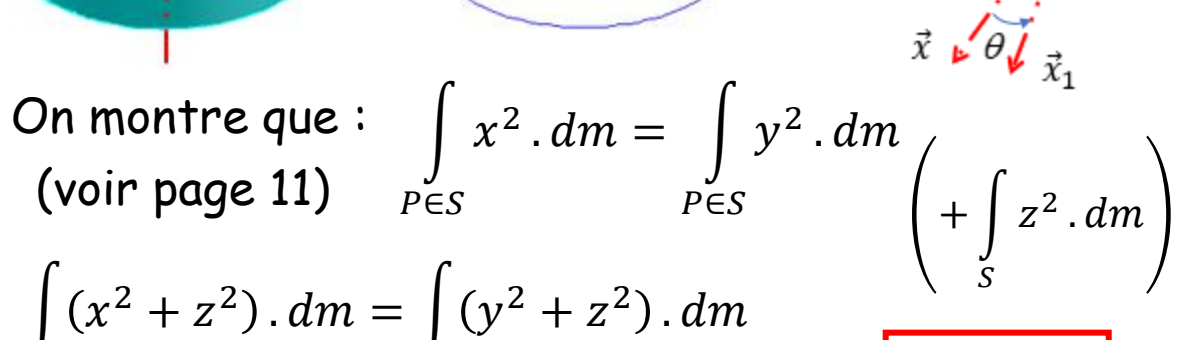
$$\forall \theta \qquad \left(I_O(S)\right)_{\vec{x},\vec{y},\vec{z}} = \left(I_O(S)\right)_{\vec{x}_1,\vec{y}_1,\vec{z}}$$

La forme de la matrice d'inertie d'un solide de révolution d'axe  $(0,\vec{z})$   $I_0(S) = \begin{pmatrix} A00 \\ 0A0 \\ 00C \end{pmatrix}_{(-1)}$ devient:

- > Tout plan contenant l'axe de révolution est un plan de symétrie.
- > Si un solide admet un axe de symétrie de révolution pour sa distribution de masse, alors tout trièdre orthogonal incluant l'axe de révolution, est trièdre principal d'inertie

C/C: La matrice d'inertie d'un solide de révolution est :

- Diagonale.
- □ son moment d'inertie / à l'axe de révolution est différent des deux autres.
- □ tout trièdre orthogonal incluant l'axe de révolution, est trièdre principal d'inertie



Axe 
$$(0, \vec{x})$$
 Axe  $(0, \vec{y})$ 

$$\begin{pmatrix} A00 \\ 0P0 \end{pmatrix}$$

$$I_{O}(S) = \begin{pmatrix} A & 0 & 0 \\ 0 & B & 0 \\ 0 & 0 & B \end{pmatrix}_{(\vec{x}, -, -)} \qquad I_{O}(S) = \begin{pmatrix} A & 0 & 0 \\ 0 & B & 0 \\ 0 & 0 & A \end{pmatrix}_{(-, \vec{y}, -)}$$

Axe 
$$(0, \vec{z})$$
  $I_0(S) = \begin{pmatrix} A & 0 & 0 \\ 0 & A & 0 \\ 0 & 0 & C \end{pmatrix}_{(-,-,\vec{z})}$ 

Expression du moment d'inertie par rapport à un axe quelconque:  $J_{\Lambda}(S) = \vec{u}.\vec{J}_{O}(S,\vec{u})$ 

$$I_{(O,\vec{u})}(S) = \vec{u}.(I_O(S).\vec{u})$$

On montre que pour un solide de révolution d'axe  $(0, \vec{z})$ :

$$\forall \theta \qquad \left(I_O(S)\right)_{\vec{x},\vec{y},\vec{z}} = \left(I_O(S)\right)_{\vec{x}_1,\vec{y}_1,\vec{z}}$$

On donne:

$$I_O(S) = \begin{pmatrix} 0A0\\ 0A0\\ 00C \end{pmatrix}_{(\vec{x},\vec{y},\vec{z})} \qquad I_{(O,\vec{y})}(S) = A$$

Puisque l'axe  $(0,\vec{z})$  est  $I_O(S) = \begin{pmatrix} A & 0 & 0 \\ 0 & A' & 0 \\ 0 & 0 & C \end{pmatrix}_{(\vec{x}_1,\vec{y}_1,\vec{z})}$ 

$$A' = I_{(O,\vec{y}_1)}(S) = ??$$

$$I_{(0,\vec{y}_1)}(S) = \vec{y}_1.(I_0(S).\vec{y}_1)$$

$$\vec{z} = \vec{y}_1 \cdot \begin{pmatrix} \begin{pmatrix} A00 \\ 0A0 \\ 00C \end{pmatrix}_{(\vec{x}, \vec{y}, \vec{z})} \cdot \begin{pmatrix} -Sin\theta \\ Cos\theta \\ 0 \end{pmatrix}_{(\vec{x}, \vec{y}, \vec{z})} \end{pmatrix}$$

$$= \begin{pmatrix} -Sin\theta \\ Cos\theta \\ 0 \end{pmatrix}_{(\vec{x},\vec{y},\vec{z})} \cdot \begin{pmatrix} -A.Sin\theta \\ A.Cos\theta \\ 0 \end{pmatrix}_{(\vec{x},\vec{y},\vec{z})}$$

$$= A. Sin^2\theta + A. Cos^2\theta$$

$$I_{(O,\vec{x}_1)}(S) = \vec{x}_1 \cdot (I_O(S) \cdot \vec{x}_1)$$

 $\vec{x} \triangleright \theta \vec{i}_{\vec{x}_1}$ 

En reprenant les mêmes étapes on peut déduire

$$I_{(O,\vec{x}_1)}(S) = A$$

On montre que : 
$$\int\limits_{P \in S} x^2 . dm = \int\limits_{P \in S} y^2 . dm$$
 
$$\int\limits_{P \in S} (x^2 - y^2) . dm = \sigma . \int\limits_{P \in S} (x^2 - y^2) . ds$$

Avec les coordonnées polaires

$$= \sigma \cdot \int ((r \cdot \cos \theta)^2 - (r \cdot \sin \theta)^2) \cdot r \cdot dr \cdot d\theta$$
$$= \sigma \cdot \int_0^\rho r^3 \cdot dr \cdot \int_0^{2\pi} (\cos^2 \theta - \sin^2 \theta) \cdot d\theta = 0$$

Changement de point : Théorème de Huygens :

$$I_G(S) \qquad I_O(S)$$

$$\overrightarrow{OG} = x_G \cdot \vec{x} + y_G \cdot \vec{y} + z_G \cdot \vec{z}$$

 $\overrightarrow{OP} = x.\,\overrightarrow{x} + y.\,\overrightarrow{y} + z.\,\overrightarrow{z}$ Prof Hi

La matrice d'inertie au point G, centre d'inertie du solide (5) étant connue on cherche à déterminer la matrice d'inertie en un point O quelconque.

$$I_G(S) = \begin{pmatrix} A_G & -F_G & -E_G \\ -F_G & B_G & -D_G \\ -E_G & -D_G & C_G \end{pmatrix} A_G = \int_{P \in S} (y_1^2 + z_1^2) \cdot dm$$

$$I_{O}(S) = \begin{pmatrix} A_{O} & -F_{O} & -E_{O} \\ -F_{O} & B_{O} & -D_{O} \\ -E_{O} & -D_{O} & C_{O} \end{pmatrix} A_{O} = \int_{P \in S} (y^{2} + z^{2}) . dm$$

$$A_{O} = \int_{P \in S} ((y_{1} + y_{G})^{2} + (z_{1} + z_{G})^{2}) . dm$$

$$= \int_{P \in S} (y_{1}^{2} + z_{1}^{2}) . dm + 2 . \int_{S} y_{1} . y_{G} . dm$$

$$+ 2 . \int_{S} z_{1} . z_{G} . dm + \int_{S} (y_{G}^{2} + z_{G}^{2}) . dm$$

$$= A_{G} + 2 . y_{G} . \int_{S} y_{1} . dm + 2 . z_{G} . \int_{S} z_{1} . dm$$

$$+ m . (y_{G}^{2} + z_{G}^{2})$$

La position du centre d'inertie G est défini par :

$$\forall A. \ m. \overrightarrow{AG} = \int \overrightarrow{AP}. dm$$

Cas particulier: 
$$\int y_1 . \, dm = \int \overrightarrow{GP} . \, \vec{y} . \, dm$$
 
$$\int \overrightarrow{GP} . \, dm = \vec{0}$$
 
$$= \left( \int \overrightarrow{GP} . \, dm \right) . \, \vec{y}$$

$$A_O = A_G + m.(y_G^2 + z_G^2)$$

En reprenant les mêmes étapes on peut déduire

$$A_O = A_G + m.(y_G^2 + z_G^2)$$

$$B_O = B_G + m.(x_G^2 + z_G^2)$$

$$C_O = C_G + m.(x_G^2 + y_G^2)$$

$$D_O = D_G + m.y_G.z_G$$

$$E_O = E_G + m.x_G.z_G$$

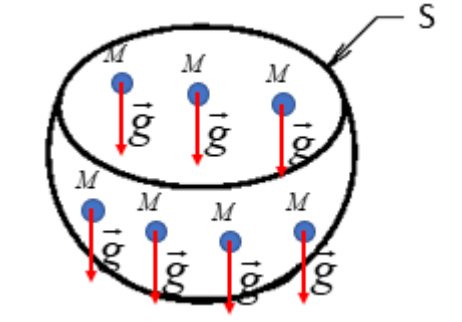
$$F_O = F_G + m.x_G.y_G$$

$$I_{O}(S) = I_{G}(S) + m \cdot \begin{pmatrix} (y_{G}^{2} + z_{G}^{2}) & -(x_{G}.y_{G}) & -(x_{G}.z_{G}) \\ -(x_{G}.y_{G}) & (x_{G}^{2} + z_{G}^{2}) & -(y_{G}.z_{G}) \\ -(x_{G}.z_{G}) & -(y_{G}.z_{G}) & (x_{G}^{2} + y_{G}^{2}) \end{pmatrix}_{(\vec{x},\vec{y},\vec{z})}$$

## Rappel:

### Modélisation locale:

 $ec{g}$ : Représente l'accélération de la pesanteur.  $ec{f}_{M}(pes 
ightarrow S) = ec{g}$ 



$$\square d\vec{R}_M(pes \rightarrow S) = \vec{f}_M(pes \rightarrow S). dm$$

$$\square \ d\overrightarrow{M}_A(pes \to S) = \overrightarrow{AM} \land \overrightarrow{f}_M(pes \to S). dm$$

Torseur de l'action de la pesanteur :

$$\left\{T(pes \to S)\right\} = \left\{ \vec{R}(pes \to S) \atop \vec{M}_A(pes \to S) \right\}_A$$

$$\vec{R}(pes \rightarrow S) = \int \vec{g}.dm$$

$$\vec{R}(pes \to S) = \int_{M \in S} \vec{g}.dm$$
  $\vec{M}_A(pes \to S) = \int_{M \in S} \overrightarrow{AM} \wedge \vec{g}.dm$ 

Le torseur  $\{T(pes \rightarrow S)\}$  est glisseur  $\Rightarrow \exists$  un point, qu'on note G, tel que  $\overrightarrow{M}_G\left(pes \rightarrow S\right) = \overrightarrow{0}$ 

$$\overrightarrow{M}_{G}\left(pes \to S\right) = \int_{M \in S} \overrightarrow{GM} \wedge \overrightarrow{g}. dm = \left(\int_{M \in S} \overrightarrow{GM}. dm\right) \wedge \overrightarrow{g} = \overrightarrow{0}$$

$$-\overrightarrow{AG}.\int_{M\in S}dm+\int_{M\in S}\overrightarrow{AM}.dm=\overrightarrow{0}\qquad \boxed{m.\overrightarrow{AG}=\int_{M\in S}\overrightarrow{AM}.dm}$$

$$m.\overrightarrow{AG} = \int_{M \in S} \overrightarrow{AM}.dm$$

Dans le cas d'un ensemble de n solides la position du centre d'inertie G est défini par :

$$\left(\sum_{i=1}^{i=n} m_i\right).\overrightarrow{AG_{\Sigma}} = \sum_{i=1}^{i=n} m_i.\overrightarrow{AG_i}$$

### Principe de conservation de la masse :

On admet que la masse est une grandeur indépendante du temps :  $\forall t \qquad m(\varSigma) = constante$ 

On peut écrire, compte tenu de ce principe

$$\left| \frac{d}{dt} \right| \int_{P \in \Sigma} \vec{f}(P, t) \cdot dm = \int_{P \in \Sigma} \frac{d}{dt} \left[ \vec{f}(P, t) \right] \cdot dm$$

avec  $\vec{f}(P,t)$  un champs de vecteur défini, en tout point du système matériel  $(\Sigma)$  et à chaque instant

Pour un point matériel M de masse m en mouvement par rapport à un repère R:

Quantité de mouvement :

 $m.\vec{V}(M/R)$ Moment cinétique en A :

$$\vec{L}_A(M/R) = \overrightarrow{AM} \wedge m. \vec{V}(M/R)$$

### Torseur cinétique:

Soit un solide (S) de masse m, de centre d'inertie G, en mouvement par rapport à un repère R.

Le torseur cinétique du solide (5) dans son mouvement par rapport au repère R est, en un point A quelconque, le torseur suivant:

$$\{C(S/R)\} = \begin{cases} \vec{R}_C(S/R) \\ \vec{\sigma}(A, S/R) \end{cases}_A$$

Résultante cinétique: (Quantité de mouvement)

$$\vec{R}_C(S/R) = \int_{M \in S} \vec{V}(M/R) \cdot dm$$

Moment cinétique d'un solide :  $\vec{\sigma}(A, S/R) = \int \overrightarrow{AM} \wedge \overrightarrow{V}(M/R) \cdot dm$ 

La position du centre d'inertie G  $m. \overrightarrow{OG} = \int \overrightarrow{OM} \cdot dm$ (O point fixe dans R)

$$m.\overrightarrow{OG} = \int_{M \in S} \overrightarrow{OM} \cdot dn$$

Conséquence du principe de conservation de la masse

$$\left[\frac{d}{dt}m.\overrightarrow{OG}\right]_{R} = \left[\frac{d}{dt}\int_{M\in S}\overrightarrow{OM}.dm\right]_{R} = \int_{M\in S}\left[\frac{d}{dt}\overrightarrow{OM}\right]_{R}.dm$$

$$\vec{R}_C(S/R) = \int \vec{V}(M/R) \cdot dm$$
 
$$\vec{R}_C(S/R) = m \cdot \vec{V}(G/R)$$

$$\vec{R}_C(S/R) = m.\vec{V}(G/R)$$

$$\vec{\sigma}(A, S/R) = \int_{M \in S} \overrightarrow{AM} \wedge \overrightarrow{V}(M/R) \cdot dm$$

M point appartenant naturellement au solide (S)  $\vec{V}(M/R) = \vec{V}(M \in S/R)$ 

$$\vec{V}(M/R) = \vec{V}(M \in S/R) = \vec{V}(A \in S/R) + \vec{\Omega}(S/R) \wedge \overrightarrow{AM}$$

$$\vec{\sigma}(A, S/R) = \int_{M \in S} \overrightarrow{AM} \wedge \overrightarrow{V}(A \in S/R) \cdot dm + \int_{M \in S} \overrightarrow{AM} \wedge (\overrightarrow{\Omega}(S/R) \wedge \overrightarrow{AM}) \cdot dm$$

### Opérateur d'inertie :

$$\vec{J}_A\left(S,\vec{\Omega}(S/R)\right) = \int\limits_{M \in S} \overrightarrow{AM} \wedge \left(\vec{\Omega}(S/R) \wedge \overrightarrow{AM}\right). dm$$

$$\vec{\sigma}(A, S/R)$$

$$= \left(\int_{M \in S} \overrightarrow{AM} \cdot dm\right) \wedge \overrightarrow{V}(A \in S/R) + \overrightarrow{J}_A\left(S, \overrightarrow{\Omega}(S/R)\right)$$

$$\vec{J}_A(S,\vec{\Omega}(S/R)) = I(A,S).\vec{\Omega}(S/R)$$

$$\{D(S/R)\} = \left\{ \vec{R}_d(S/R) \atop \vec{\delta}(A, S/R) \right\}_A$$

Résultante dynamique : (Quantité d'accélération)

$$\vec{R}_d(S/R) = \int_{M \in S} \vec{\Gamma}(M/R) \cdot dm$$

Moment dynamique d'un solide:

$$\vec{\delta}(A, S/R) = \int_{M \in S} \overrightarrow{AM} \wedge \vec{\Gamma}(M/R) \cdot dm$$

Résultante dynamique:

$$\vec{\sigma}(A, S/R) = m.\overrightarrow{AG} \wedge \vec{V}(A \in S/R) + I(A, S).\overrightarrow{\Omega}(S/R)$$

V. Vitesse du point A lié à S

### <u>Torseur dynamique</u>:

Le torseur cinétique du solide (5) dans son mouvement par rapport au repère R est, en un point A quelconque, le torseur suivant:

$$\left[\frac{d}{dt}m.\vec{V}(G/R)\right]_{R} = \left[\frac{d}{dt}\int_{M\in S} \vec{V}(M/R).dm\right]_{R}$$

$$= \int_{R} \left[ \frac{d}{dt} \vec{V}(M/R) \right]_{R} . dm$$

$$\vec{R}_d(S/R) = m.\vec{\Gamma}(G/R)$$

Relation entre le Moment cinétique et le moment dynamique d'un solide:

$$\left[\frac{d}{dt}\vec{\sigma}(A,S/R)\right]_{R} = \int_{M \in S} \frac{d}{dt} \left[\overrightarrow{AM} \wedge \overrightarrow{V}(M/R)\right]_{R} dm$$

$$= \int_{M \in S} \frac{d}{dt} \left[ \overrightarrow{AM} \right]_{R} \wedge \overrightarrow{V}(M/R) . dm$$
$$+ \int_{M} \overrightarrow{AM} \wedge \frac{d}{dt} \left[ \overrightarrow{V}(M/R) \right]_{R} . dm$$

$$= \int_{M \in S} \frac{d}{dt} [\overrightarrow{AM}]_R \wedge \overrightarrow{V}(M/R). dm$$
$$+ \int_{M \in S} \overrightarrow{AM} \wedge \frac{d}{dt} [\overrightarrow{V}(M/R)]_R. dm$$

$$\frac{d}{dt} \left[ \overrightarrow{AM} \right]_R = -\frac{d}{dt} \left[ \overrightarrow{OA} \right]_R + \frac{d}{dt} \left[ \overrightarrow{OM} \right]_R = -\overrightarrow{V}(A/R) + \overrightarrow{V}(M/R)$$

$$= \int\limits_{M \in S} \left( -\vec{V}(A/R) \right) \wedge \vec{V}(M/R) . \, dm + \int\limits_{M \in S} \overrightarrow{AM} \wedge \vec{\Gamma}(M/R) . \, dm$$

$$= -\vec{V}(A/R) \wedge \int_{M \in S} (\vec{V}(M/R). dm) + \vec{\delta}(A, S/R)$$

$$\left[\frac{d}{dt}\vec{\sigma}(A,S/R)\right]_{R} = -\vec{V}(A/R) \wedge m.\vec{V}(G/R) + \vec{\delta}(A,S/R)$$

$$\vec{\delta}(A, S/R) = \left[\frac{d}{dt}\vec{\sigma}(A, S/R)\right]_R + m.\vec{V}(A/R) \wedge \vec{V}(G/R)$$

Prof Hi

Pour un point matériel M de masse m en mouvement par rapport à un repère R:

$$Ec(M/R) = \frac{1}{2}.m.(\vec{V}(M/R))^2$$

# Energie cinétique:

L'énergie cinétique du solide (5) dans son mouvement par rapport au repère R est le scalaire suivant :

$$T(S/R) = \frac{1}{2} \int_{M \in S} \left( \vec{V}(M/R) \right)^{2} . dm$$

$$\vec{V}(M/R) = \vec{V}(M \in S/R)$$
$$= \vec{V}(A \in S/R) + \vec{\Omega}(S/R) \wedge \overrightarrow{AM}$$

$$= \frac{1}{2} \left( \left( \int_{M \in S} \vec{V}(M/R) \cdot dm \right) \cdot \vec{V}(A \in S/R) + \int_{M \in S} \vec{\Omega}(S/R) \cdot \left( \overrightarrow{AM} \wedge \vec{V}(M/R) \right) \cdot dm \right)$$

Produit mixte: permutation circulaire

oduit mixte: 
$$\vec{U}.(\vec{V} \wedge \vec{W}) = \vec{W}.(\vec{U} \wedge \vec{V}) = \vec{V}.(\vec{W} \wedge \vec{U})$$

$$=\frac{1}{2}\left(\vec{R}_{C}(S/R).\vec{V}(A\in S/R)+\vec{\Omega}(S/R).\int_{M\in S}\left(\overrightarrow{AM}\wedge\vec{V}(M/R)\right).dm\right)$$

$$T(S/R) = \frac{1}{2} \left( \vec{R}_C(S/R) \cdot \vec{V}(A \in S/R) + \vec{\Omega}(S/R) \cdot \vec{\sigma}(A, S/R) \right)$$

$$T(S/R) = \frac{1}{2} \begin{Bmatrix} \vec{R}_C(S/R) \\ \vec{\sigma}(A, S/R) \end{Bmatrix}_A \cdot \begin{Bmatrix} \vec{\Omega}(S/R) \\ \vec{V}(A \in S/R) \end{Bmatrix}_A$$

$$T(S/R) = \frac{1}{2} \left( \int \vec{V}(M/R) \cdot \vec{V}(A \in S/R) \cdot dm + \int_{M \in S} \vec{V}(M/R) \cdot (\vec{\Omega}(S/R) \wedge \overrightarrow{AM}) \cdot dm \right)$$

$$T(S/R) = \frac{1}{2} \{C(S/R)\}.\{V(S/R)\}$$

### <u>Torseur cinétique</u>:

Résultante cinétique :

$$\{C(S/R)\} = \begin{cases} \vec{R}_C(S/R) \\ \vec{\sigma}(A, S/R) \end{cases}_A$$

$$\vec{R}_C(S/R) = m.\vec{V}(G/R)$$

Moment cinétique d'un solide: (1)

Caractéristiques d'inertie

$$\vec{\sigma}(A, S/R) = m. \overrightarrow{AG} \wedge \vec{V}(A \in S/R) + I(A, S). \vec{\Omega}(S/R)$$

Elts Torseur cinématique -

(2) 
$$\vec{\sigma}(B, S/R) = \vec{\sigma}(A, S/R) + \vec{R}_C(S/R) \wedge \overrightarrow{AB}$$

- □ L'expression du moment cinétique en fonction des moment et des produits d'inertie est applicable uniquement à un solide.
- ☐ Avant de multiplier deux matrices, vérifier qu'elles sont bien exprimées dans la même base.

 $I(A,S). \overrightarrow{\Omega}(S/R)$ 

✓ Il est conseillé d'exprimer le vecteur rotation dans la même base que la matrice d'inertie.

- ☐ La matrice d'inertie du solide (5) est constante si le point A est un point du solide (S).
- ☐ Pour obtenir le moment cinétique du solide (5), en un point B qui n'est pas lié au solide (S), il suffit d'appliquer la relation de changement de point du moment cinétique
  - ✓ Dans le cas où on utilise la relation (1), il ne faut pas utiliser la dérivation vectorielle pour le calcul du vecteur vitesse  $\vec{V}(B \in S/R)$ .
- $\Box$  Le torseur cinétique pour un système matériel  $(\Sigma)$ constitué de n solides :

$$\{C(\Sigma/R)\} = \sum_{i=1}^{R} \{C(S_i/R)\}$$

Torseur dynamique:

Résultante dynamique:
$$\{D(S/R)\} = \left\{ \vec{R}_d(S/R) \right\}_A$$

$$\vec{R}_d(S/R) = m.\vec{\Gamma}(G/R)$$

Moment dynamique d'un solide :

$$\vec{\delta}(A, S/R) = \left[\frac{d}{dt}\vec{\sigma}(A, S/R)\right]_{R} + m.\vec{V}(A/R) \wedge \vec{V}(G/R)$$
$$\vec{\delta}(B, S/R) = \vec{\delta}(A, S/R) + \vec{R}_{d}(S/R) \wedge \vec{AB}$$

 $\square$  Pour calculer par exemple  $\vec{u}.\left[\frac{d}{dt}\vec{\sigma}(A,S/R)\right]_R$ , il est pratiquement toujours plus simple d'utiliser :

$$\vec{u} \cdot \left[ \frac{d}{dt} \vec{\sigma}(A, S/R) \right]_{R} = \frac{d}{dt} \left( \vec{u} \cdot \vec{\sigma}(A, S/R) \right) - \left[ \frac{d}{dt} \vec{u} \right]_{R} \cdot \vec{\sigma}(A, S/R)$$

 $\Box$  Le torseur dynamique pour un système matériel  $(\Sigma)$  constitué de n solides :

$$\{D(\Sigma/R)\} = \sum_{i=1}^{R} \{D(S_i/R)\}$$

 $\vec{\delta}(A, \Sigma/R) = \sum_{i=1}^{n} \vec{\delta}(A, S_i/R) =$ 

$$\sum_{i=1}^{n} \left( \left[ \frac{d}{dt} \vec{\sigma}(A, S_i/R) \right]_R + M_i \cdot \vec{V}(A/R) \wedge \vec{V}(G_i/R) \right)$$

- $\checkmark$  Vecteur vitesse du point géométrique A indépendant des solides  $(S_i)$ .
- ✓ Il est conseillé d'utiliser la dérivation vectorielle.
- $\square$  Si on suppose la masse de l'ensemble matériel ( $\Sigma$ ) concentrée en centre d'inertie G, l'ensemble matériel ( $\Sigma$ ) est assimilée à une masse ponctuelle (géométrie négligeable).

- $\checkmark$  La matrice d'inertie au point G est nulle  $(I_G(\Sigma) = (0))$ .
- ✓ Le moment cinétique au point G est nul  $\vec{\sigma}(G, \Sigma/R) = \vec{0}$ .
- $\checkmark$  Le moment dynamique au point G est nul  $\vec{\delta}(G, \Sigma/R) = \vec{0}$ .
- $\Box$  Le torseur dynamique au point G s'écrit

$$\{D(\Sigma/R)\} = \begin{Bmatrix} \vec{R}_d(\Sigma/R) \\ \vec{0} \end{Bmatrix}_G$$

 $\square$  Pour calculer le moment dynamique en un point quelconque  $A: \vec{\delta}(A,S/R) = m.\vec{\Gamma}(G/R) \wedge \overrightarrow{GA}$ .

Calcul des énergies cinétiques  $T(\Sigma/R) = \sum_{i=1}^{\infty} T(S_i/R)$  $T(S_i/R) = \frac{1}{2} \cdot \{V(S_i/R)\} \cdot \{C(S_i/R)\}$ 

<u>Proposition</u>: pour le choix du point de calcul, prendre celui de la matrice d'inertie ou celui du moment d'inertie.

(Si J est le moment d'inertie par rapport à l'axe  $(A, \vec{x})$  alors par définition  $J = I_{A,\vec{x}}(S) = \vec{x}. (I_A(S).\vec{x})$ 

Ou si la matrice est connue en A, l'expression de l'énergie cinétique du solide  $S_i/R$  devient  $T(S_i/R)$ 

$$= \frac{1}{2} \cdot \left( m_i \cdot \vec{V}(G_i/R) \cdot \vec{V}(A, S_i/R) + \vec{\Omega}(S_i/R) \cdot \vec{\sigma}(A, S_i/R) \right)$$